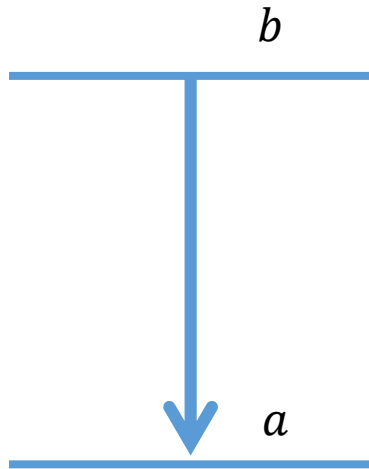
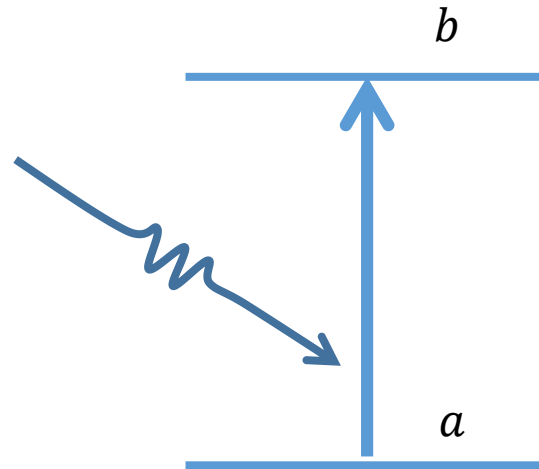


Interazione Radiazione materia (intro) Sistema a due livelli e coefficienti di Einstein

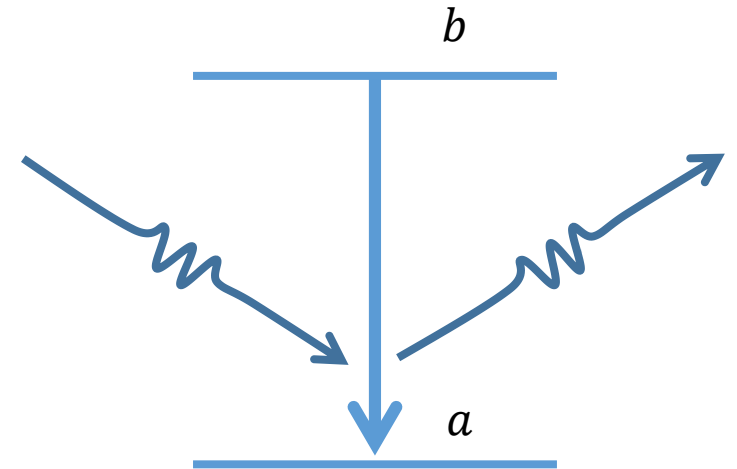
Emissione Spontanea



Assorbimento



Emissione Stimolata



- Energia del fotone (Emesso/Assorbito) uguale alla differenza di energia tra i due livelli
- 'Equazioni di bilanciamento' (Rate equation) delle popolazioni
- Condizioni di stazionarietà
- In condizioni di stazionarietà Einstein propone l'esistenza di un processo di **emissione stimolata** dal campo e.m.
- In cond. di equilibrio **ottiene la legge di Planck** (Nota: solo introducendo il processo di emissione stimolata!)
- LASER: **L**ight **A**mplification by **S**timulated **E**mission of **R**adiation

Interazione Radiazione materia

Approssimazione semiclassica: campi classici e atomi quantistici (no feedback dell'atomo sul campo)

L'Hamiltoniana di una particella in un campo e.m. è:

$$H = \frac{1}{2m} (\mathbf{p} - q\mathbf{A})^2 + q\phi$$

E l'eq. di Schroedinger diventa

$$i\hbar \frac{\partial}{\partial t} \Psi(\mathbf{r}, t) = \left[\frac{1}{2m} (-i\hbar\nabla + e\mathbf{A})^2 - \frac{Ze^2}{(4\pi\epsilon_0)r} \right] \Psi(\mathbf{r}, t)$$

Nota: 'Eq. Di Schroedinger è invariante per la scelta di Gauge (la funzione d'onda acquisisce una fase).

Interazione di atomi ad 1e- con campi e.m.

La probabilità di transizione è data da:

$$c_b^{(1)}(t) = -\frac{e}{m} \int_{\Delta\omega} d\omega A_0(\omega) \left[\underbrace{e^{i\delta\omega} \langle \psi_b | e^{i\mathbf{k}\cdot\mathbf{r}} \hat{\boldsymbol{\epsilon}} \cdot \nabla | \psi_a \rangle}_{\text{Assorbimento}} \int_0^t dt' e^{i(\omega_{ba} - \omega)t'} + \underbrace{e^{-i\delta\omega} \langle \psi_b | e^{-i\mathbf{k}\cdot\mathbf{r}} \hat{\boldsymbol{\epsilon}} \cdot \nabla | \psi_a \rangle}_{\text{Emissione}} \int_0^t dt' e^{i(\omega_{ba} + \omega)t'} \right]$$

Assorbimento

≠ 0 se

$\omega_{ba} = \omega$;

i.e. $E_b = E_a + \hbar\omega$

Emissione

≠ 0 se

$\omega_{ba} = \omega$;

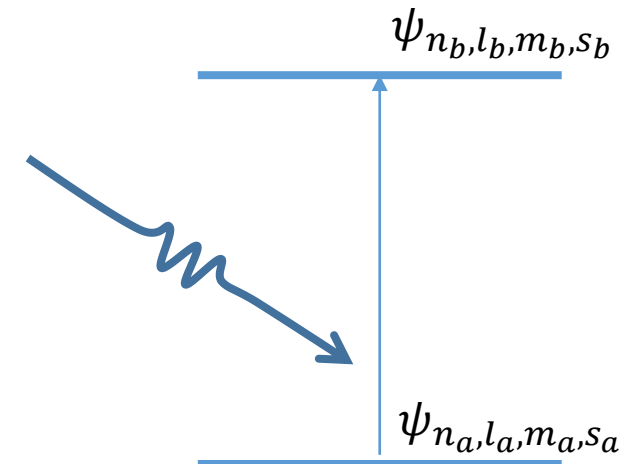
i.e. $E_b = E_a - \hbar\omega$

In un processo di **assorbimento** la probabilità che un atomo si trovi in uno stato viene calcolata in teoria delle perturbazioni dipendente dal tempo e prende la forma:

$$|c_b^{(1)}(t)|^2 \sim \int_{\Delta\omega} d\omega \left[\frac{eA_0(\omega)}{m} \right]^2 |M_{ba}(\omega)|^2$$

Dove il ruolo cruciale è quello dell'**Elemento di Matrice**:

$$M_{ba} = \langle \psi_b | e^{i\mathbf{k}\cdot\mathbf{r}} \hat{\boldsymbol{\epsilon}} \cdot \nabla | \psi_a \rangle = \int \psi_b^*(\mathbf{r}) e^{i\mathbf{k}\cdot\mathbf{r}} \hat{\boldsymbol{\epsilon}} \cdot \nabla \psi_a(\mathbf{r}) d\mathbf{r}$$



Che ci permette di definire la **probabilità di transizione di assorbimento** $W_{ba} = \frac{4\pi^2}{m^2 c} \left(\frac{e^2}{4\pi\epsilon_0} \right) \frac{I(\omega_{ba})}{\omega_{ba}^2} |M_{ba}(\omega_{ba})|^2$

Legata alla sua **sezione d'urto** $\sigma_{ba} = \frac{4\pi^2 \alpha \hbar^2}{m^2 \omega_{ba}} |M_{ba}(\omega_{ba})|^2$

Oltre al processo di **Assorbimento** dal campo e.m.

Il processo in cui un fotone viene emesso da un atomo in un processo di diseccitazione è chiamato **Emissione**

Emissione Stimolata è un processo per cui **la presenza di un campo e.m.** (risonante all'energia di transizione) stimola la diseccitazione di un atomo e di conseguenza l'emissione di un fotone

Al contrario il processo di **Emissione Spontanea** è un processo di decadimento spontaneo dello stato eccitato di un atomo che avviene in assenza di fotoni nel campo di stimolo;

$$\mathbf{A}_2 = \hat{\mathbf{e}} \left[\frac{(N(\omega) + 1)\hbar}{2V\epsilon_0\omega} \right]^{1/2} e^{-i(\mathbf{k}\cdot\mathbf{r} - \omega t + \delta_\omega)}$$

Nota: emissione spontanea è un processo di **emissione «stimolato» dal campo elettromagnetico di vuoto**. In formalismo quantistico esistono fluttuazioni di campo e.m. anche in assenza di eccitazioni (fotoni) in tale campo.

Effetto Purcell: probabilità di emissione spontanea degli atomi cambiano quando gli atomi sono incorporati in una cavità risonante

Quantizzazione del campo elettromagnetico

a) Troviamo l'Hamiltoniana $H(A(r,t))$

$$A_{\mathbf{k}\lambda}(\mathbf{r}, t) = A_{\mathbf{k}\lambda} \exp(-i\omega_k t + i\mathbf{k}\cdot\mathbf{r}) + A_{\mathbf{k}\lambda}^* \exp(i\omega_k t - i\mathbf{k}\cdot\mathbf{r}) \Rightarrow \mathcal{E}_{\mathbf{k}\lambda} = \varepsilon_0 V \omega_k^2 (A_{\mathbf{k}\lambda} A_{\mathbf{k}\lambda}^* + A_{\mathbf{k}\lambda}^* A_{\mathbf{k}\lambda})$$

b) Troviamo le variabili canoniche Q, P

$$\hat{a} = (2m\hbar\omega)^{-1/2} (m\omega\hat{q} + i\hat{p})$$

$$\hat{a}^\dagger = (2m\hbar\omega)^{-1/2} (m\omega\hat{q} - i\hat{p})$$

c) Promuoviamo ad operatori le variabili canoniche e imponiamo le regole di commutazione

$$A_{\mathbf{k}\lambda} \rightarrow (\hbar/2\varepsilon_0 V \omega_k)^{1/2} \hat{a}_{\mathbf{k}\lambda} \quad A_{\mathbf{k}\lambda}^* \rightarrow (\hbar/2\varepsilon_0 V \omega_k)^{1/2} \hat{a}_{\mathbf{k}\lambda}^\dagger$$

$$[\hat{q}, \hat{p}] = i\hbar \quad \Leftrightarrow \quad [\hat{a}, \hat{a}^\dagger] = 1$$

Hamiltoniana del campo elettromagnetico quantizzato

$$\mathcal{E}_{\mathbf{k}\lambda} = \varepsilon_0 V \omega_k^2 (A_{\mathbf{k}\lambda} A_{\mathbf{k}\lambda}^* + A_{\mathbf{k}\lambda}^* A_{\mathbf{k}\lambda}) \quad \rightarrow \quad \hat{\mathcal{H}} = \hbar\omega (\hat{a}^\dagger \hat{a} + \frac{1}{2})$$

Operatori di creazione e distruzione

$$[\hat{a}, \hat{a}^\dagger] = 1$$

\hat{a} manda un autostato $|n\rangle$ in un autostato $|n-1\rangle$ con autovalore accresciuto o diminuito di $\hbar\omega$.

$$\hat{a}|n\rangle = n^{1/2}|n-1\rangle, \quad \hat{a}^\dagger|n\rangle = (n+1)^{1/2}|n+1\rangle$$

Energia del Fotone: Variazione quantizzata dell'autovalore di energia

Stati numero della radiazione

Autostati di n

Risultato dell'azione ripetuta di operatori di creazione e distruzione

Stati Coerenti della radiazione

$$|\alpha\rangle = \exp\left(-\frac{1}{2}|\alpha|^2\right) \sum_{n=0}^{\infty} \frac{\alpha^n}{(n!)^{1/2}} |n\rangle$$

Numero di fotone indefinito

Campo elettrico classico

Fluttuazioni di vuoto

L'approssimazione di dipolo

Il calcolo dell'elemento di matrice $M_{ba} = \langle \psi_b | e^{i\mathbf{k}\cdot\mathbf{r}} \hat{\mathbf{e}} \cdot \nabla | \psi_a \rangle$ può essere semplificato

$$e^{i\mathbf{k}\cdot\mathbf{r}} = 1 + (i\mathbf{k} \cdot \mathbf{r}) + \frac{1}{2!} (i\mathbf{k} \cdot \mathbf{r})^2 + \dots = 1$$

L'approx. corrisponde ad assumere che il campo sia uniforme sulle dimensioni atomiche; i.e. Campi ottici (10^{-6}m) e dimensioni atomiche 10^{-10}m

L'espressione per una probabilità di transizione si può quindi esprimere in funzione di $\mathbf{r}_{ba} = \langle \psi_b | \mathbf{r} | \psi_a \rangle$ (dove abbiamo espresso il nabla attraverso la sua equazione del moto al primo ordine):

$$W_{ba} = \frac{4\pi^2}{c\hbar^2} \left(\frac{e^2}{4\pi\epsilon_0} \right) I(\omega_{ba}) |\hat{\mathbf{e}} \cdot \mathbf{r}_{ba}|^2$$

Che possiamo esprimere introducendo l'operatore di momento di dipolo elettrico:

$$\mathbf{D}_{ba} = -e\mathbf{r}_{ba}$$

Il calcolo delle probabilità di transizione si riduce a calcolare la precedente o più in generale (q indice delle componenti sferiche).

$$I_{n'l'm';nlm}^q = \left(\frac{4\pi}{3} \right)^{1/2} \int_0^\infty dr r^3 R_{n'l'}(r) R_{nl}(r) \times \int d\Omega Y_{l'm'}^*(\theta, \phi) Y_{1,q}(\theta, \phi) Y_{lm}(\theta, \phi)$$

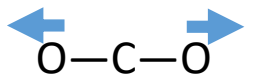
La componente radiale della funzione d'onda è non nulla, mentre la componente angolare ci da delle **Regole di selezione di dipolo:**

$$\Delta l = \pm 1$$

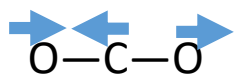
$$\Delta m = 0, \pm 1$$

Regola generale: vale per transizione tra stati elettronici

-Stati vibrazionali (IR and Raman activities)

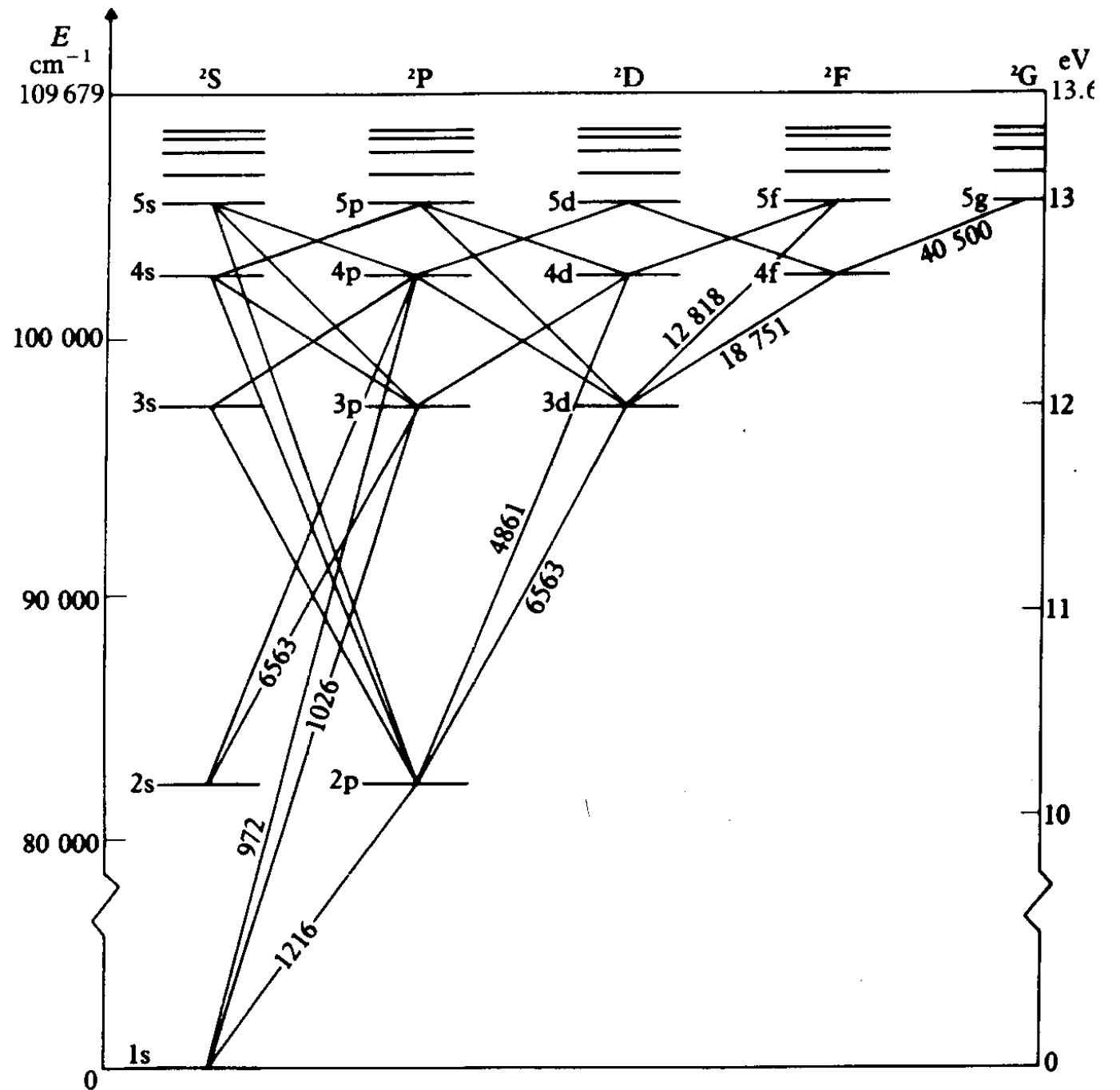


Simmetrico
No dipolo



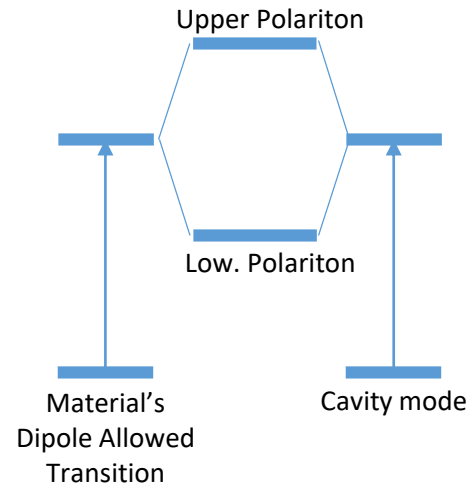
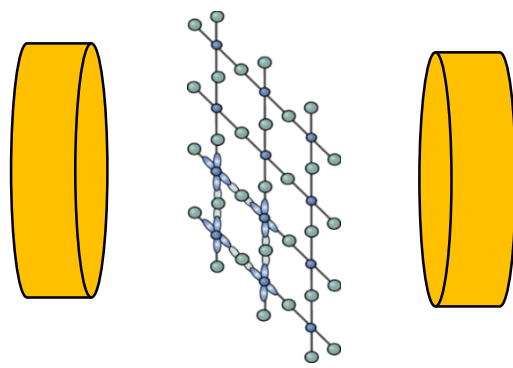
Dipolo (IR)

-Magnetici (Magnon absorption)



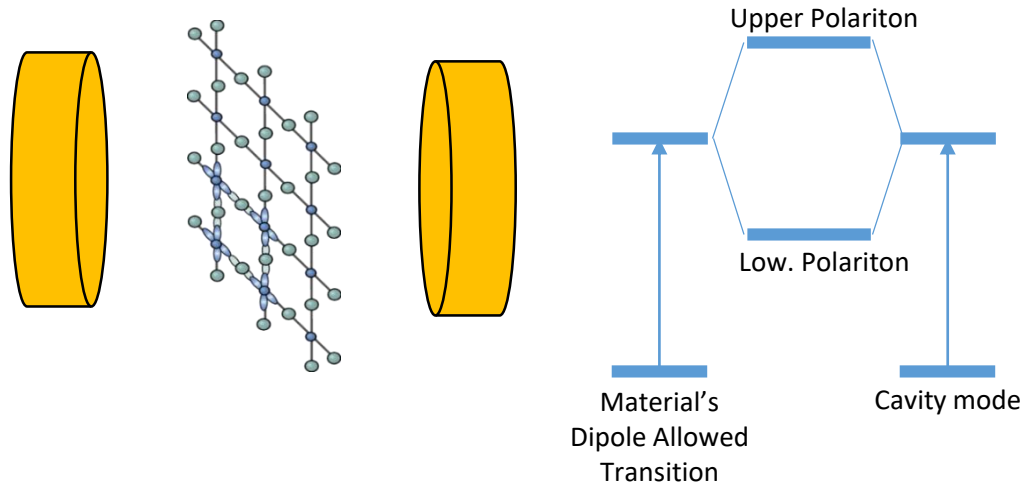
**Detou «ExCursus»:
Can we use cavity electrodynamics to
control complex materials?**

Solid state samples in tunable cryogenic Fabry-Perot



-Materials embedded in tunable cryogenic optical cavities

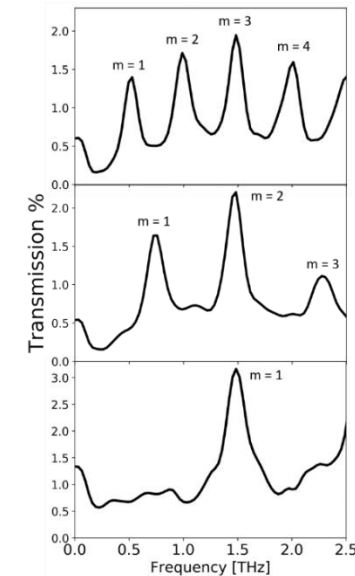
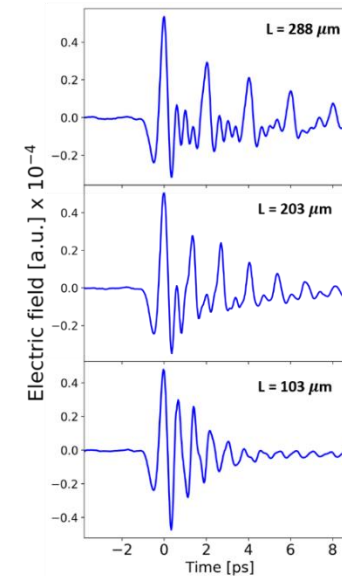
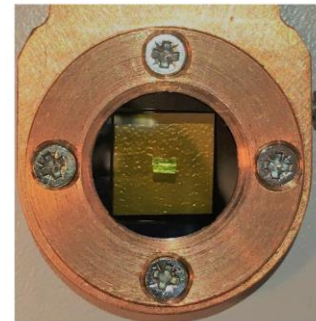
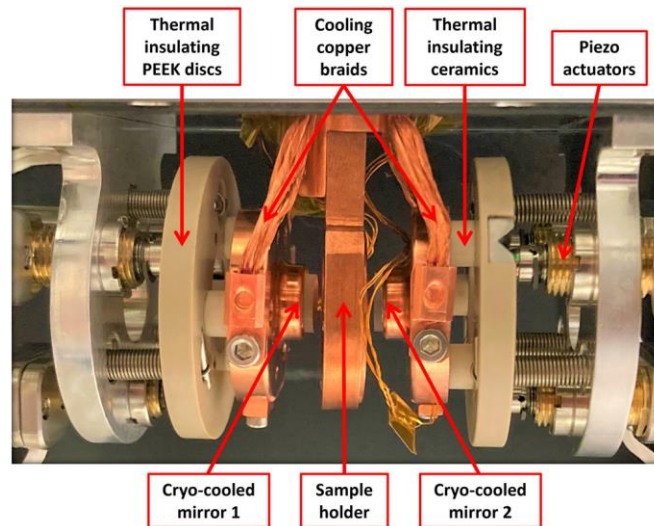
Solid state samples in tunable cryogenic Fabry-Perot



-Materials embedded in tunable cryogenic optical cavities

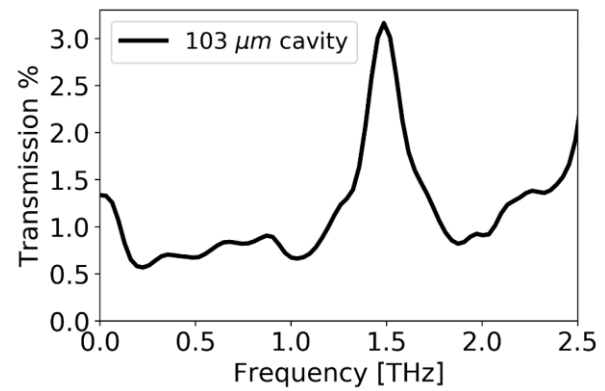
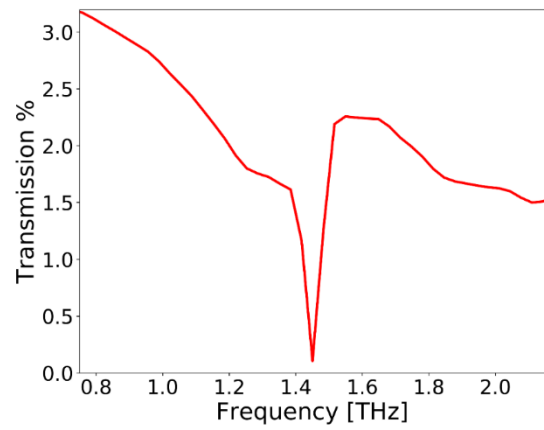
-Tunable frequency 0.01THz-100Thz*

-Quality factor $2 < Q < 10$



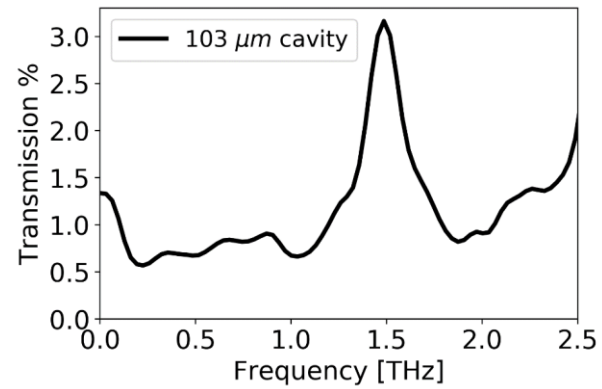
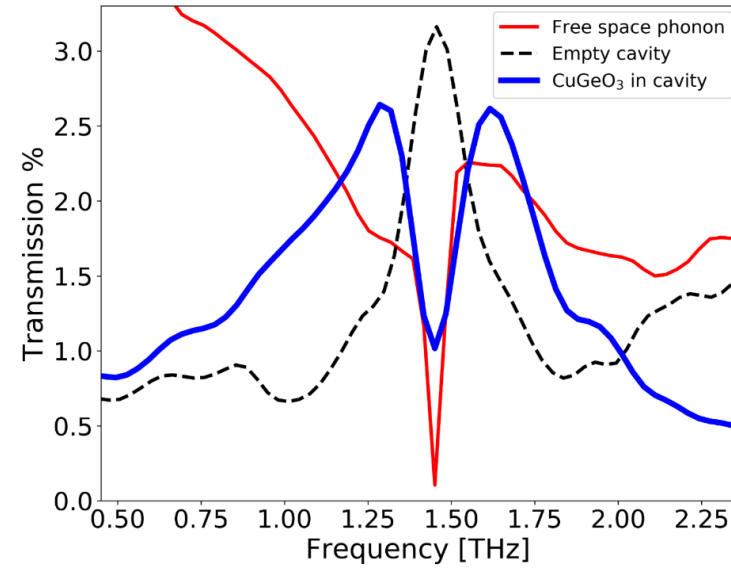
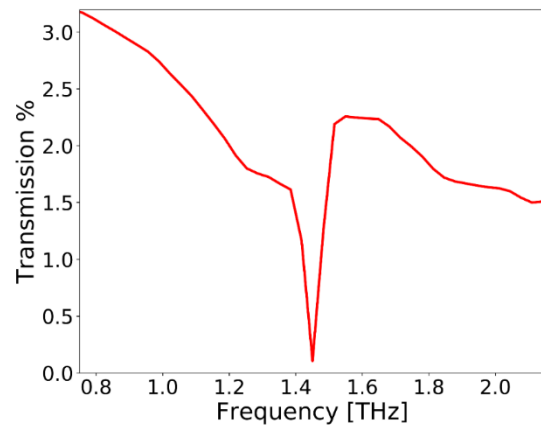
Solid state samples in tunable cryogenic Fabry-Perot

THz absorption of CuGeO₃



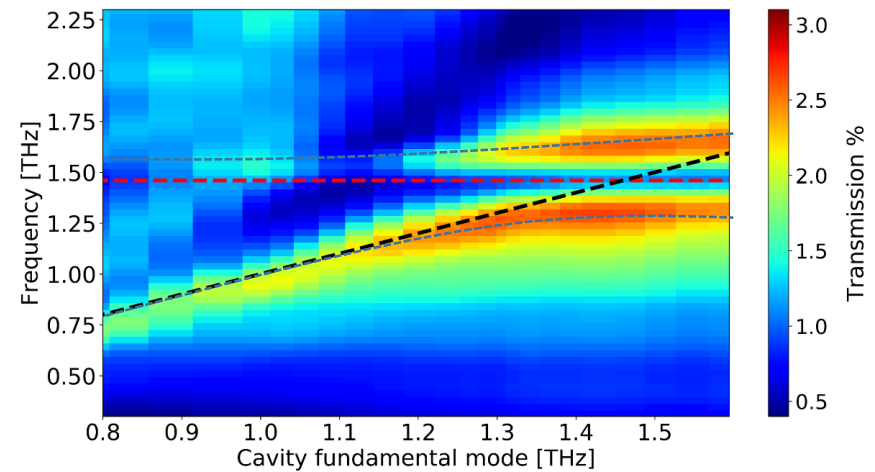
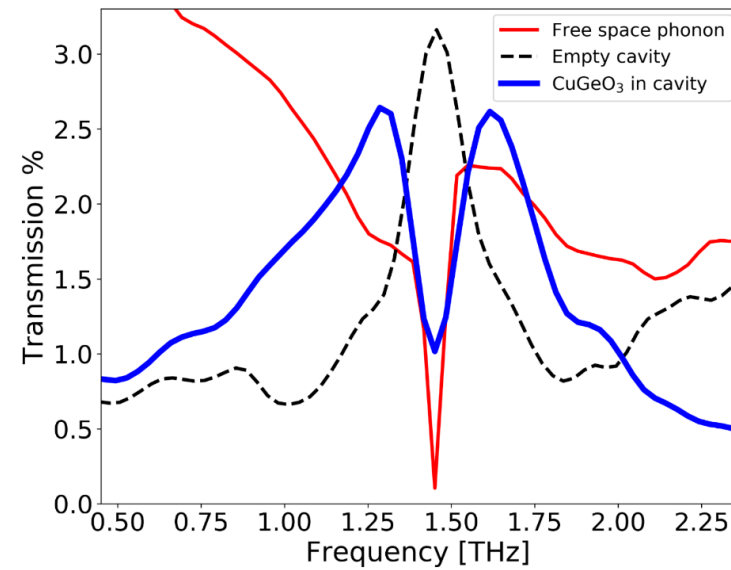
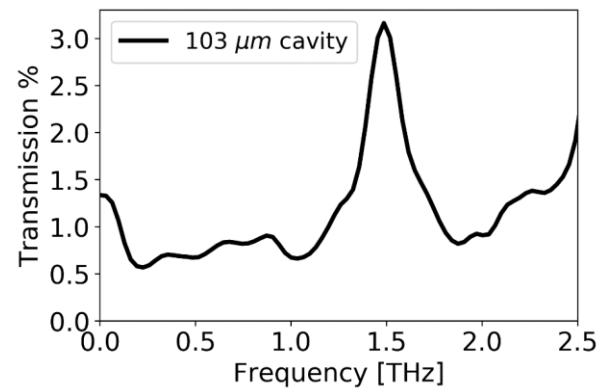
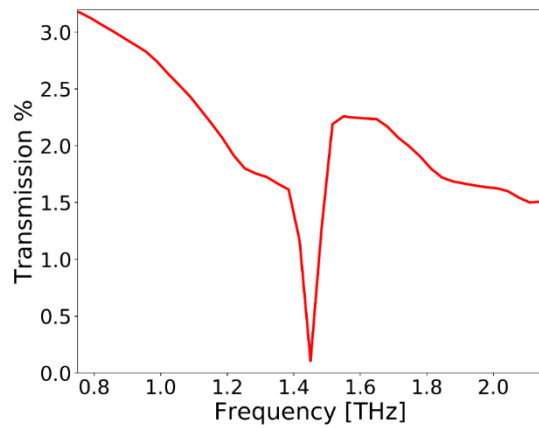
Solid state samples in tunable cryogenic Fabry-Perot

THz absorption of CuGeO₃



Solid state samples in tunable cryogenic Fabry-Perot

THz absorption of CuGeO₃



Quantum spectroscopies for quantum materials

- ✓ **Can we induce order from disorder?**

Fluctuations of low energy modes is the key

- ✓ **How can we measure fluctuations?**

We can use quantum and classical statistical properties of light

Covariance Based Raman Spectroscopy

- ✓ **How do we control fluctuations in matter?**

Cavity electrodynamics to control complex materials

Controlling metal-insulator transition temperature in 1T-TaS₂ in cavity

Quantum spectroscopies for quantum materials

- ✓ **Can we induce order from disorder?**

Fluctuations of low energy modes is the key

- ✓ **How can we measure fluctuations?**

We can use quantum and classical statistical properties of light

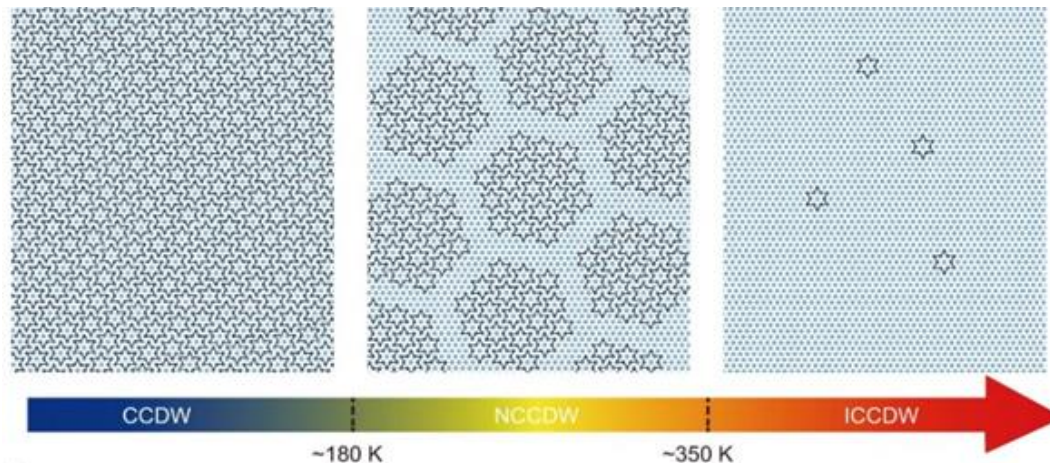
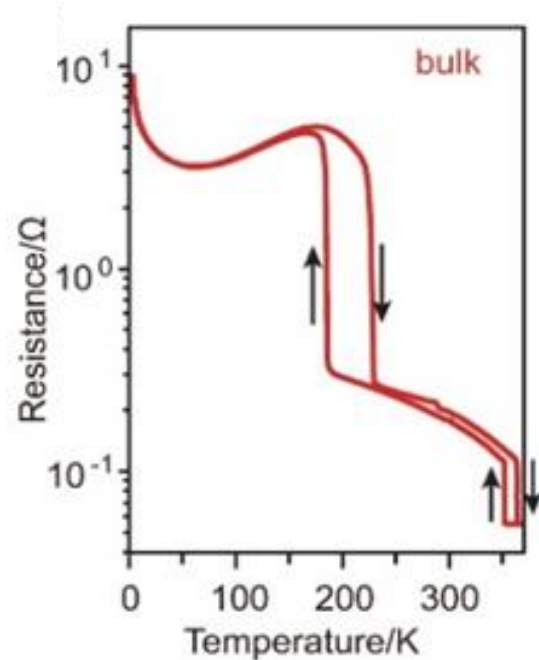
Covariance Based Raman Spectroscopy

- ✓ **How do we control fluctuations in matter?**

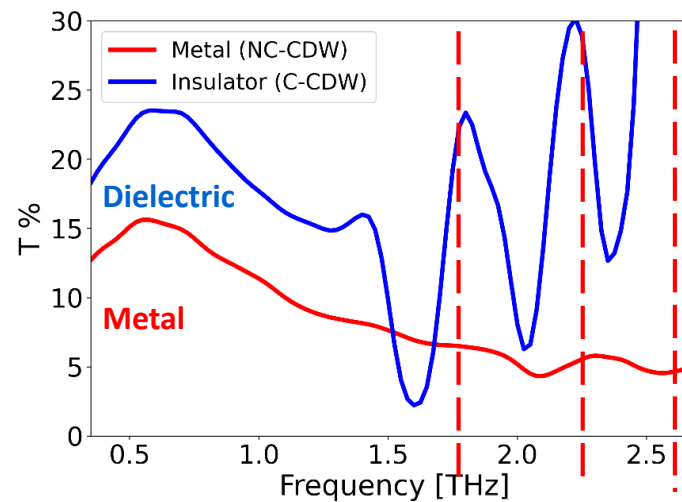
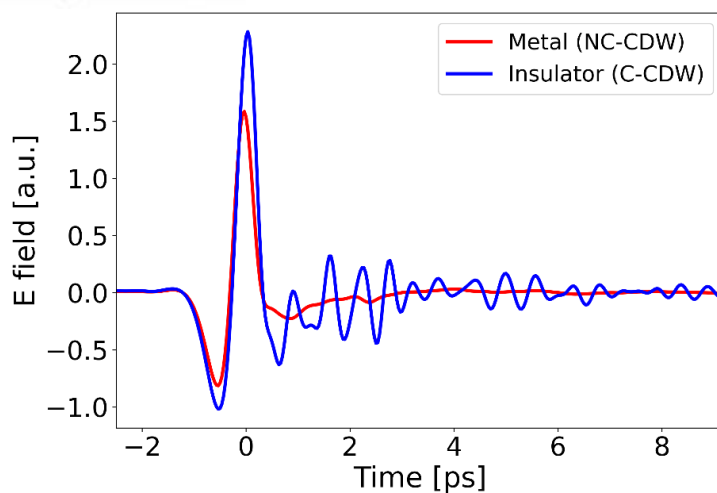
Cavity electrodynamics to control complex materials

Controlling metal-insulator transition temperature in 1T-TaS₂ in cavity

Cavity control of M-I transition in 1T-TaS2

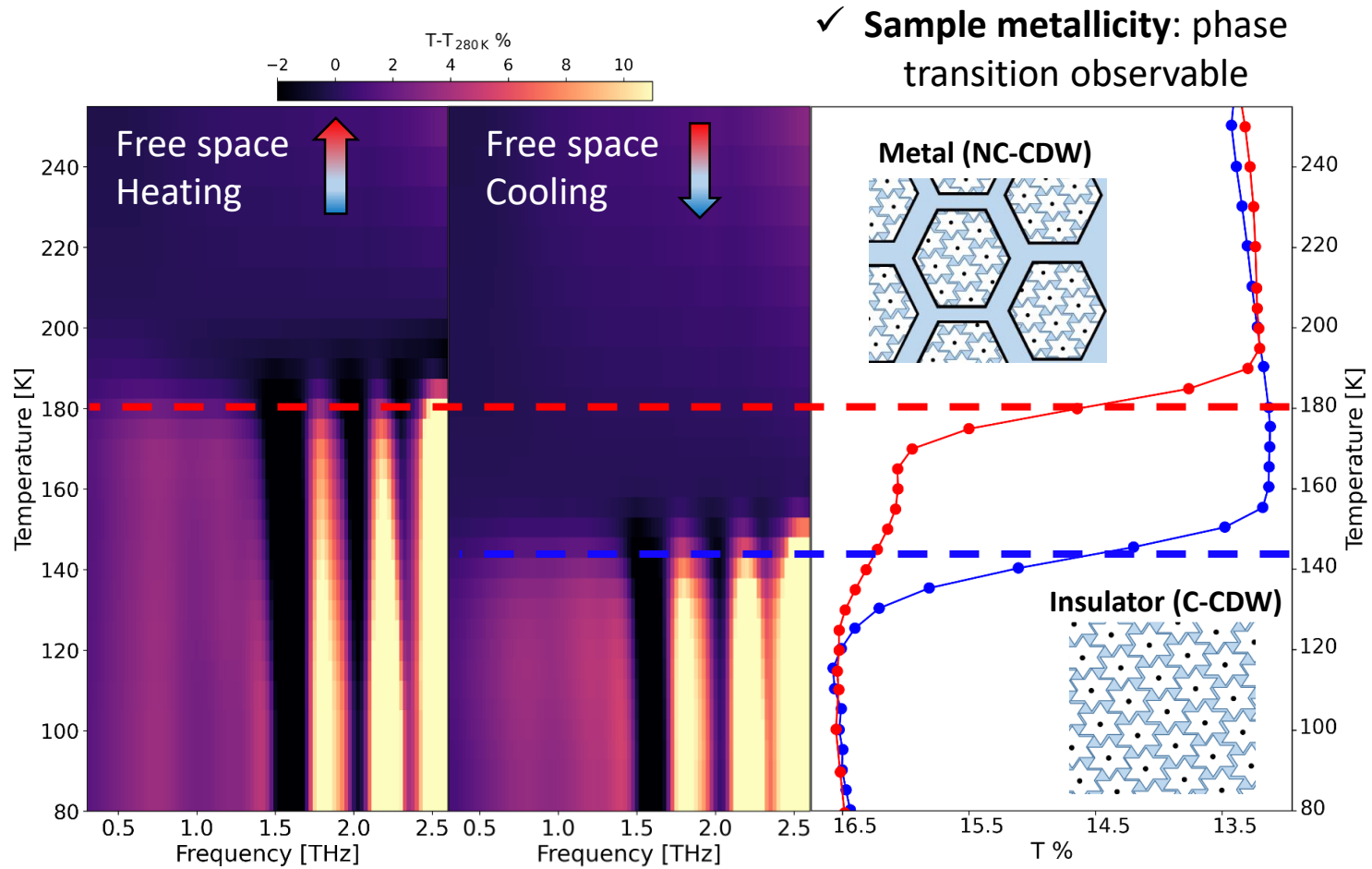


T



Cavity control of M-I transition in 1T-TaS2

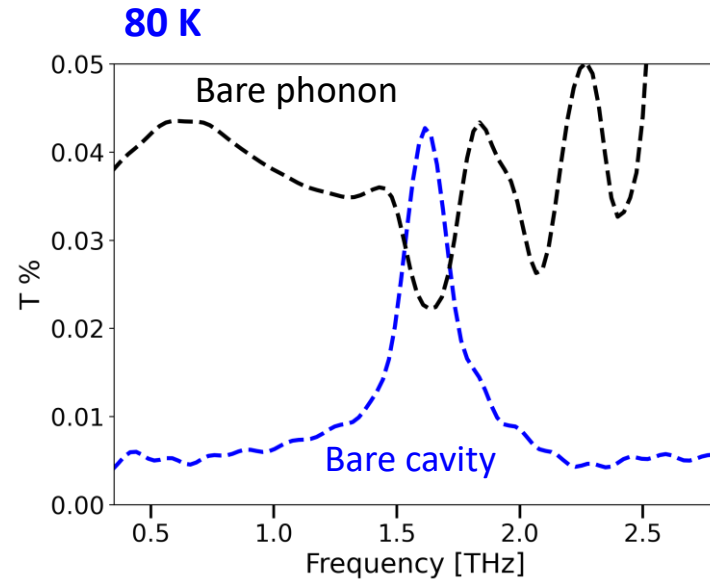
✓ THz tracking of 1st order metal-to-insulator phase transition



Resonant Coupling to phonons

✓ Temperature dependent

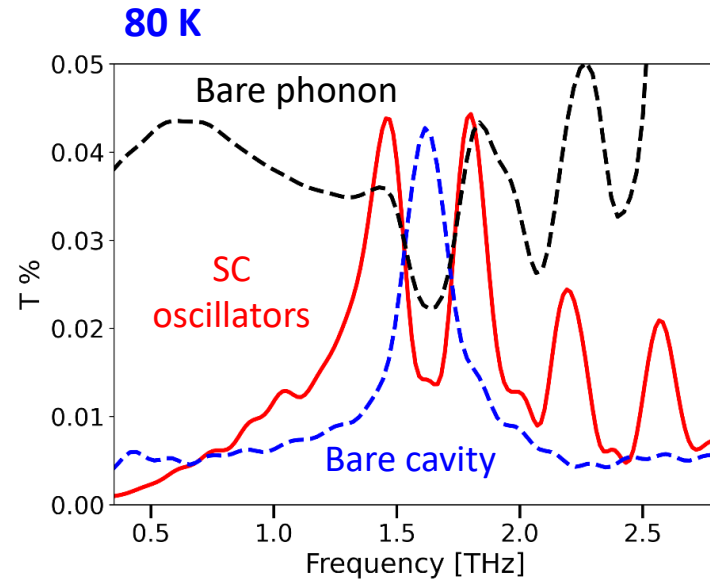
C-CDW phonon



Resonant Coupling to phonons

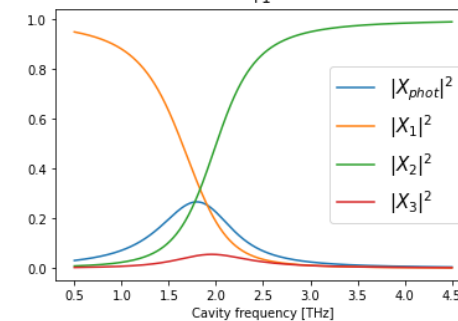
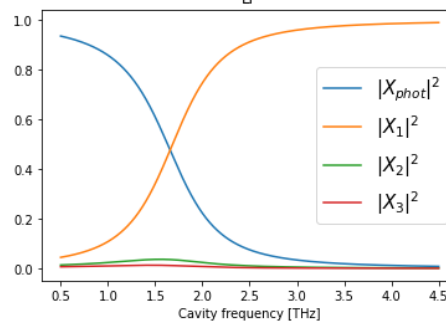
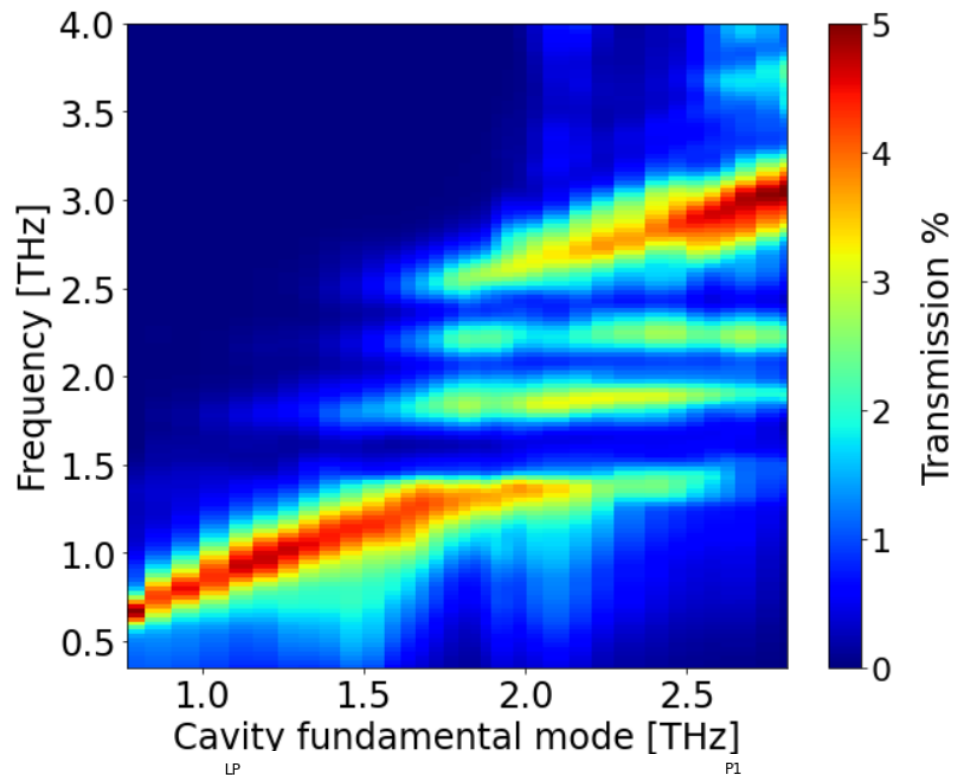
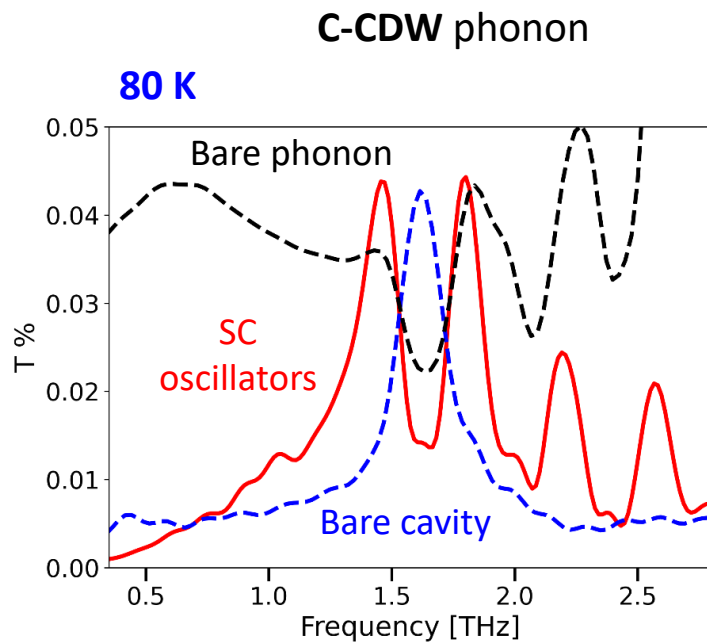
✓ Temperature dependent

C-CDW phonon



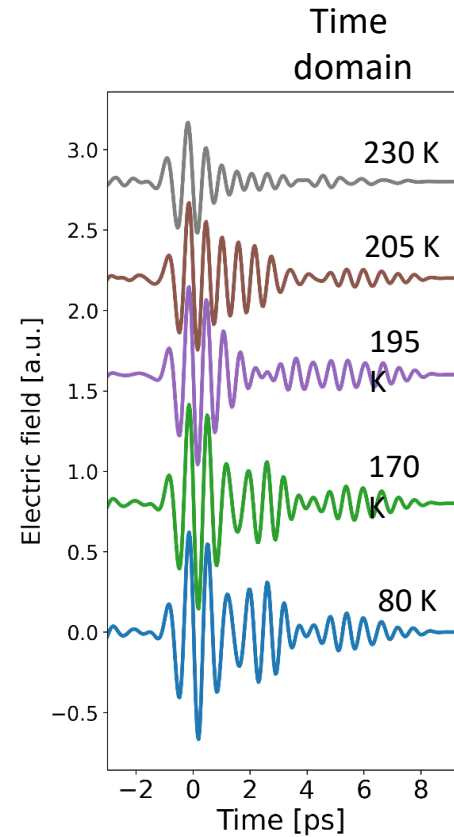
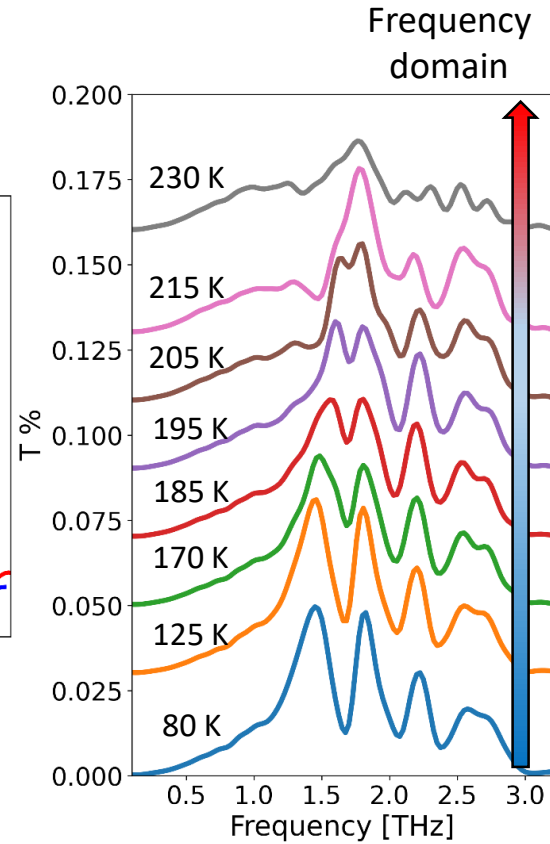
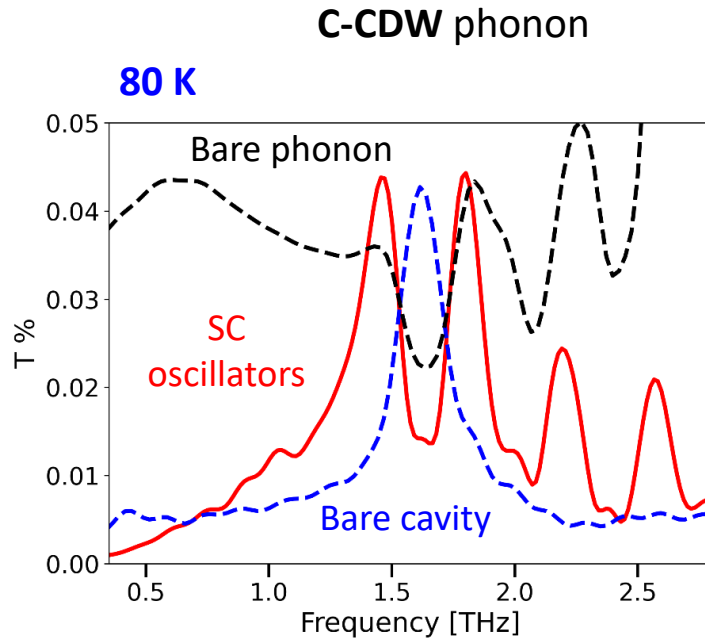
Resonant Coupling to phonons

✓ Temperature dependent



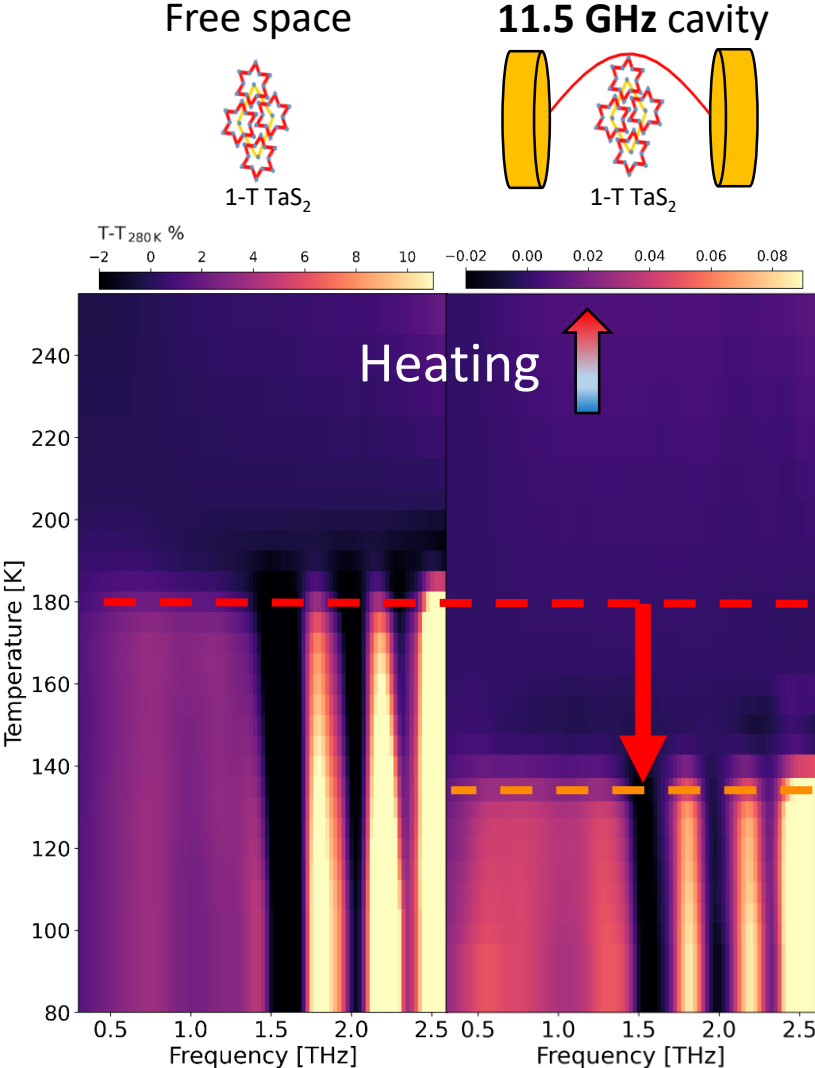
Resonant Coupling to phonons

✓ Temperature dependent

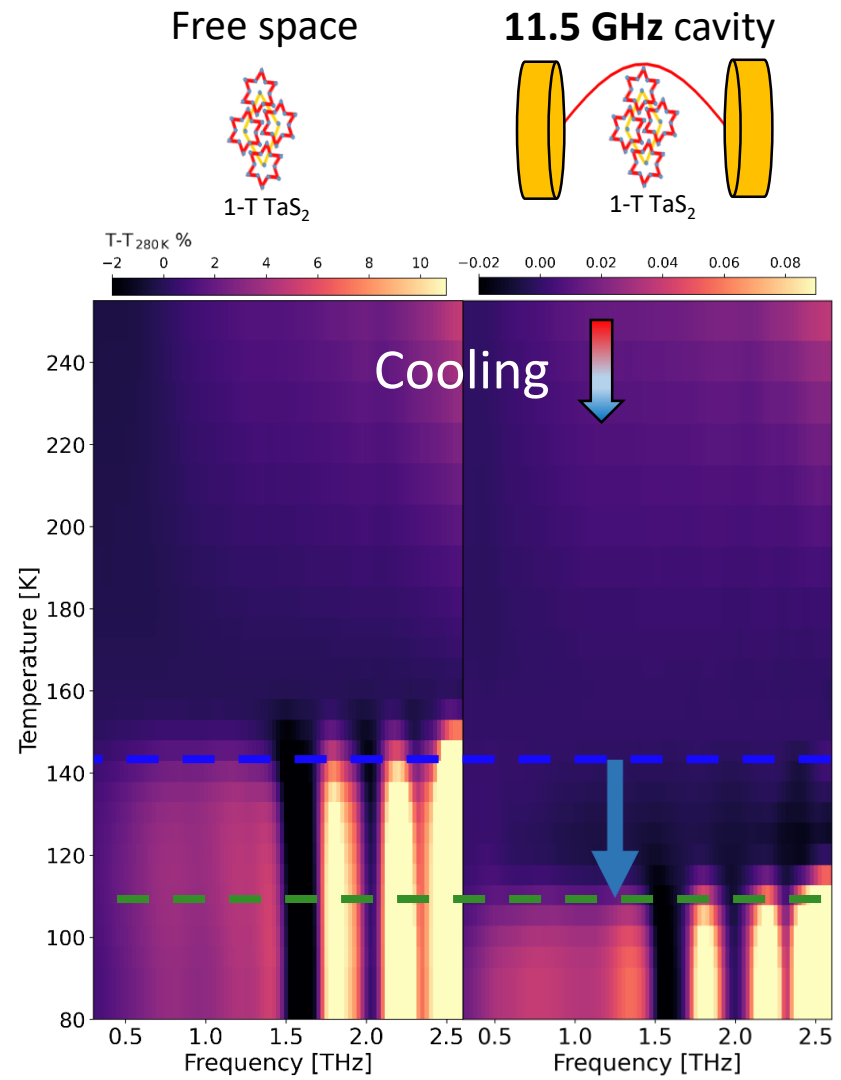
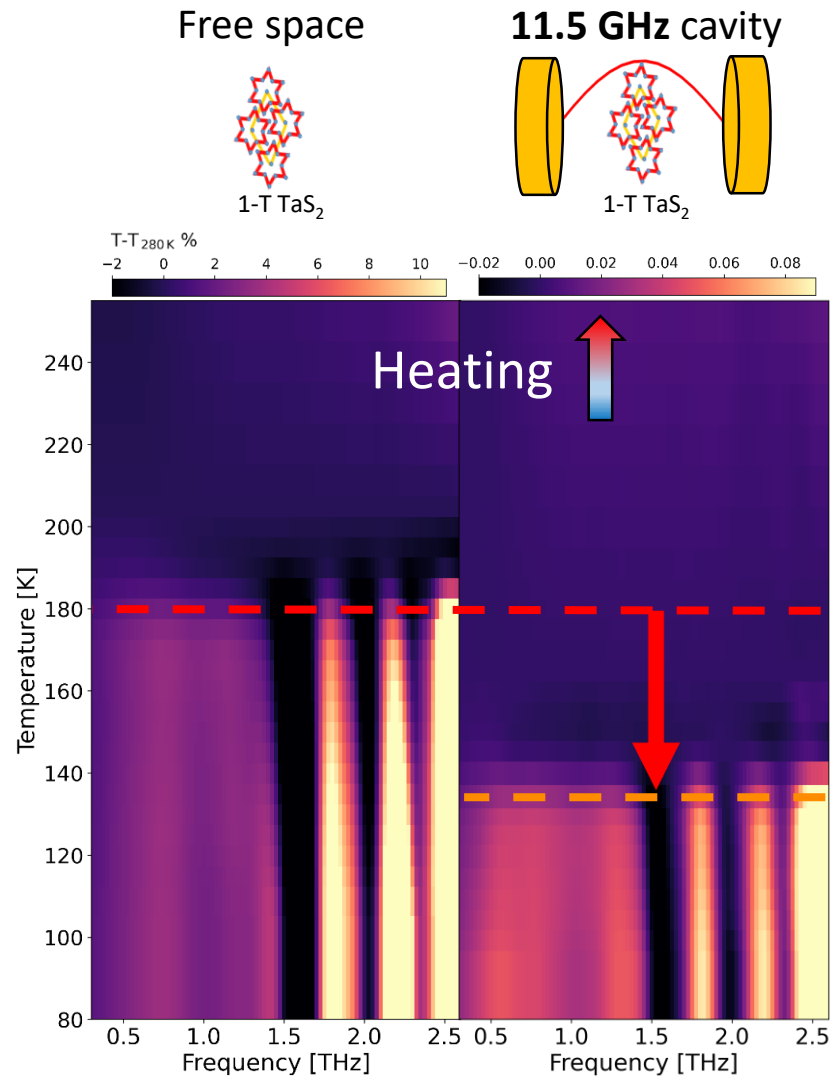


✓ Temperature dependent light-matter coupling revealed by THz spectroscopy

Control of Tc in long wavelength cavities

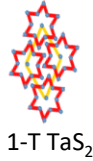


Control of Tc in long wavelength cavities



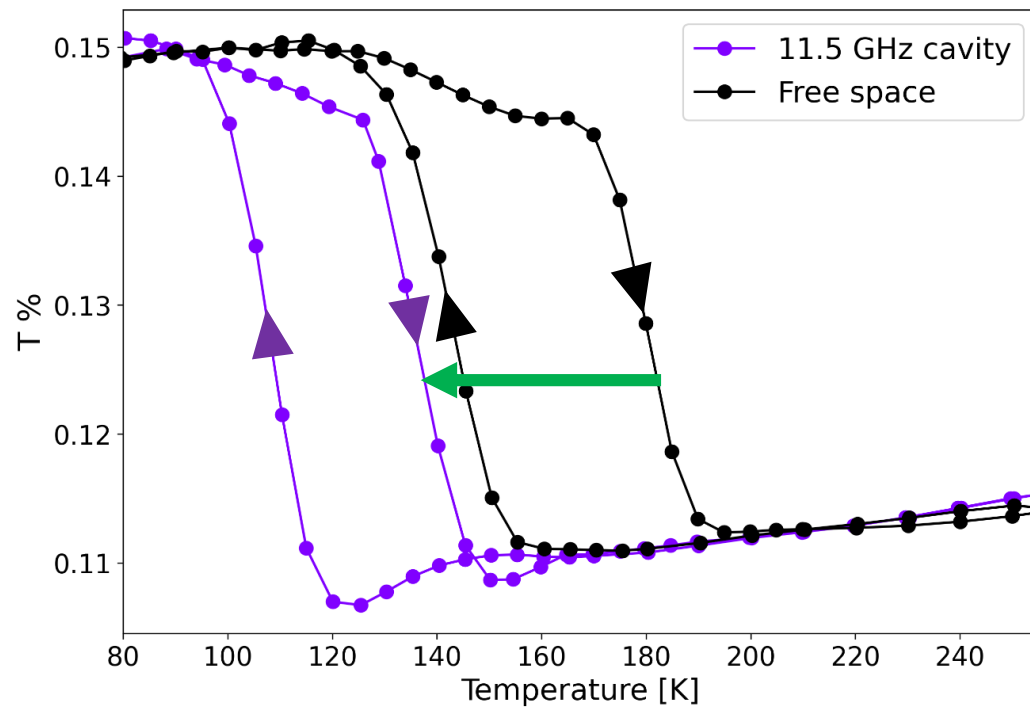
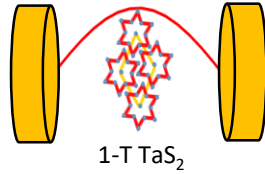
Control of T_c in long wavelength cavities

Free space



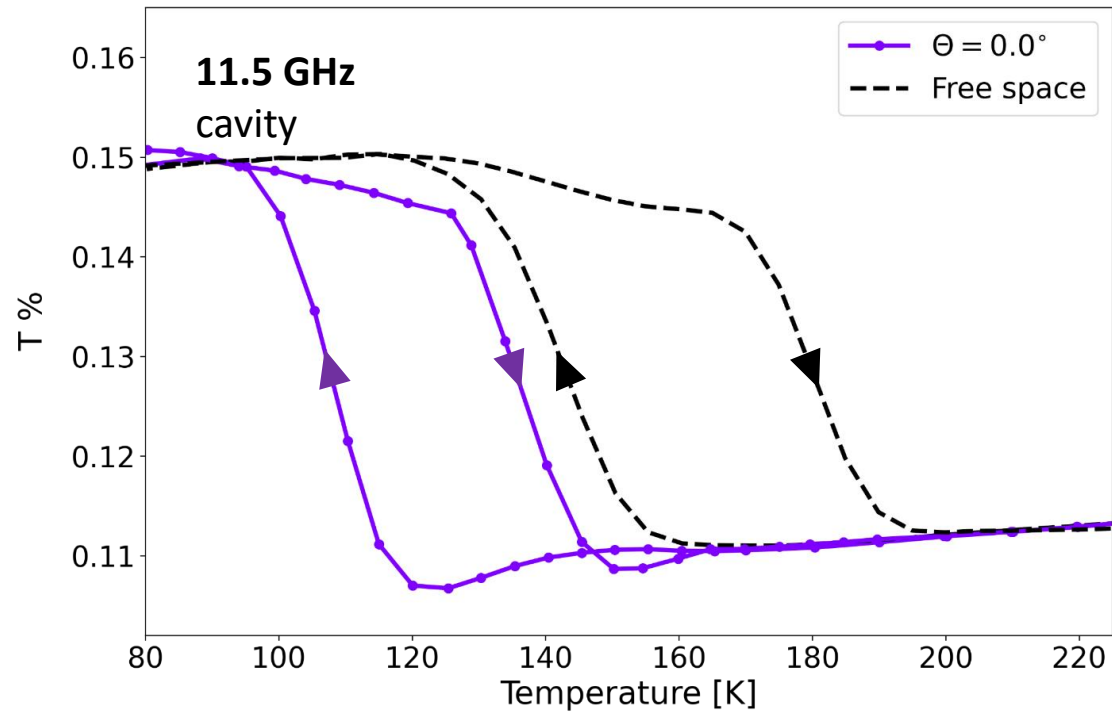
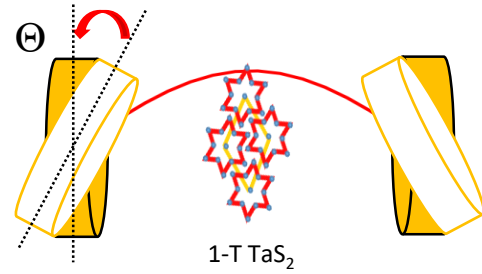
VS

11.5 GHz cavity

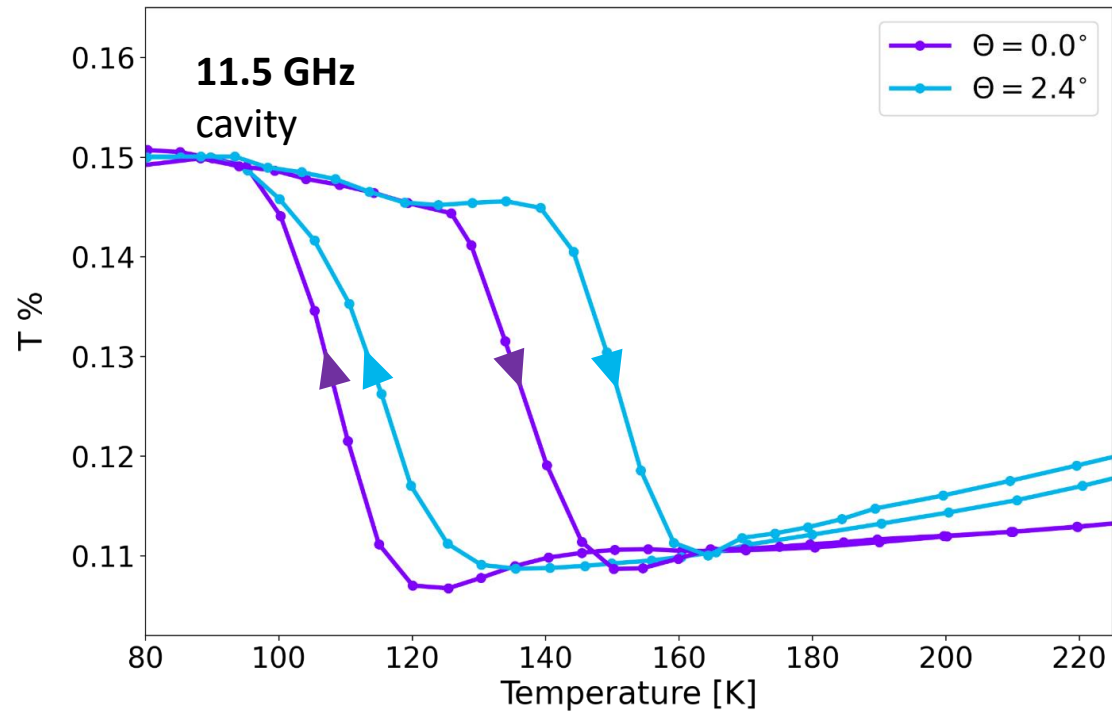
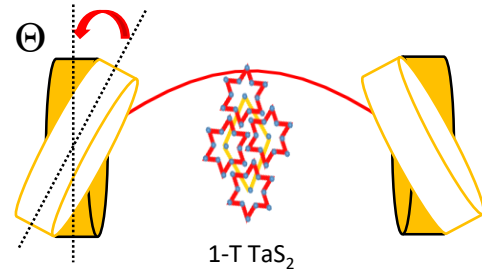


✓ Cavity-mediated renormalization of the **phase transition temperature**

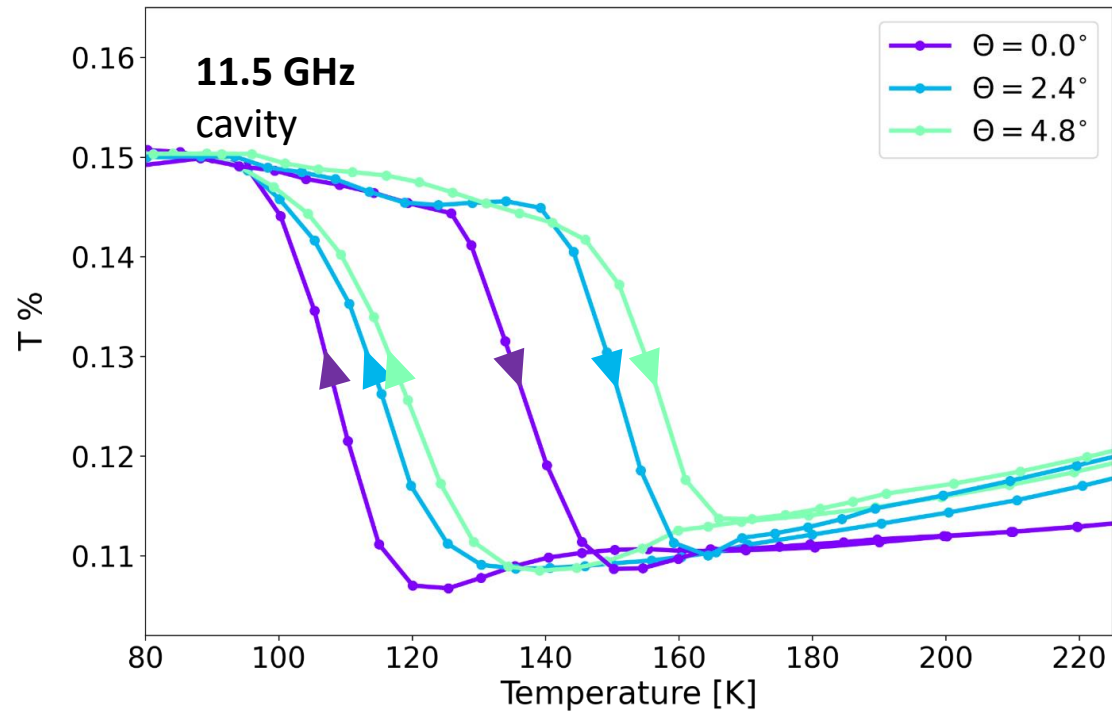
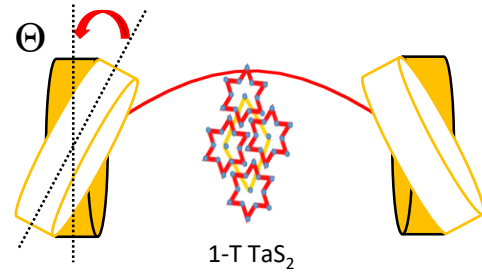
Dependence on the Cavity geometry



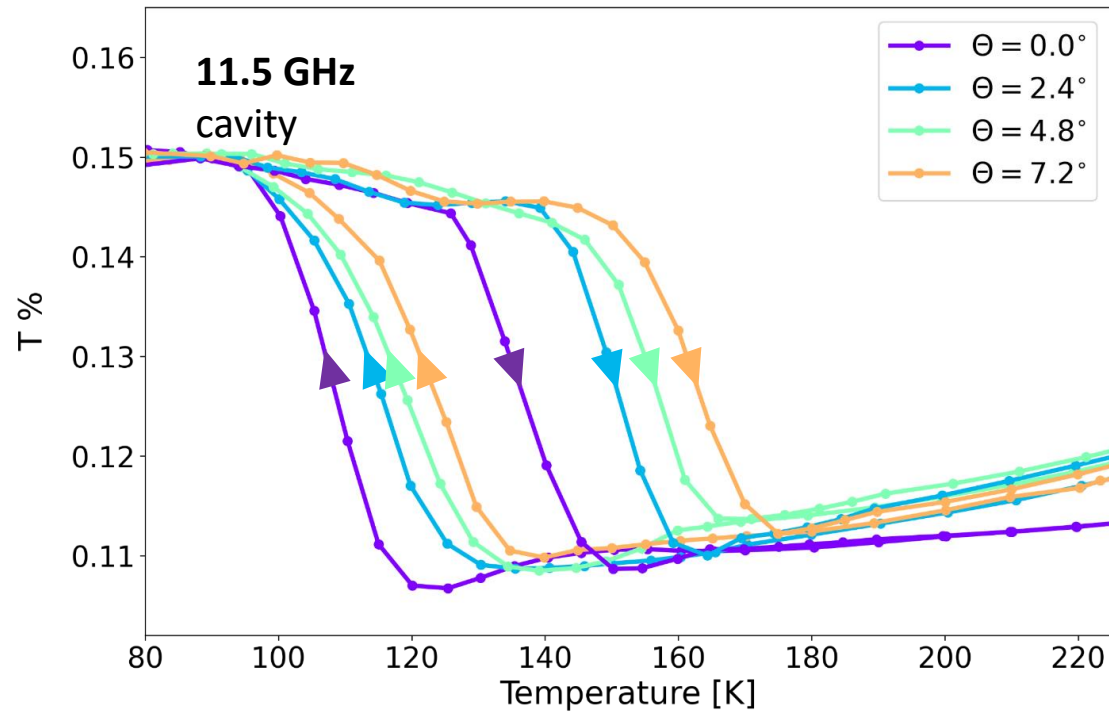
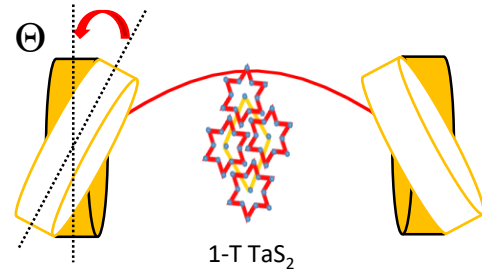
Dependence on the Cavity geometry



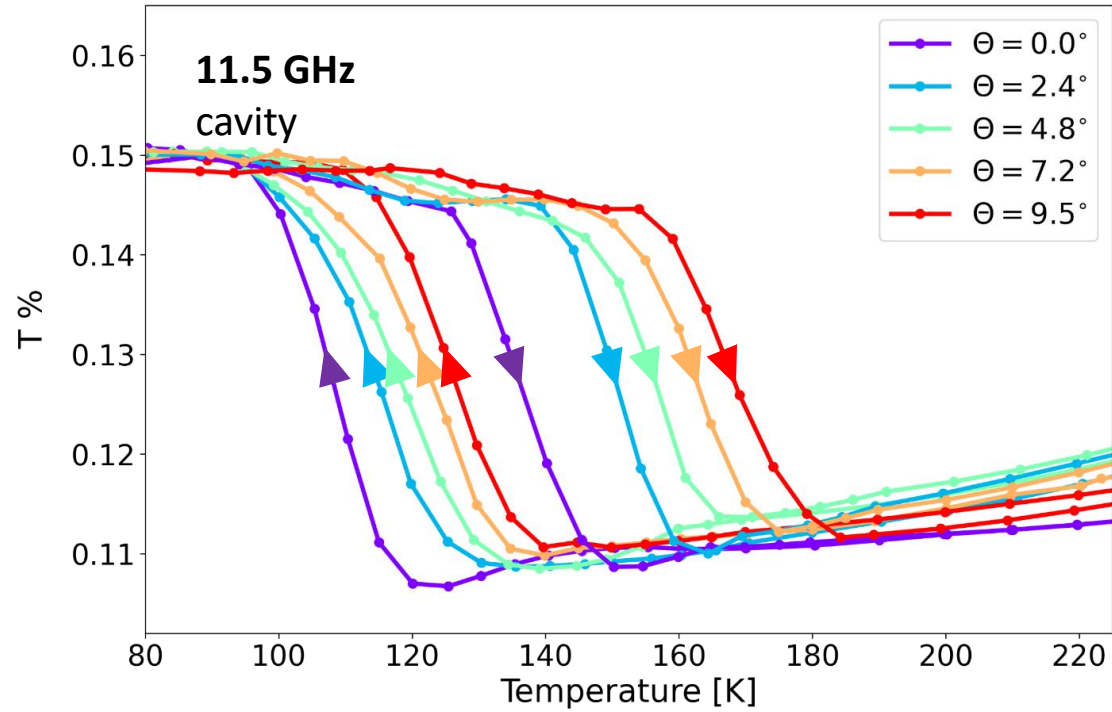
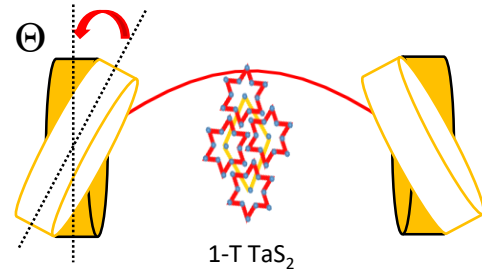
Dependence on the Cavity geometry



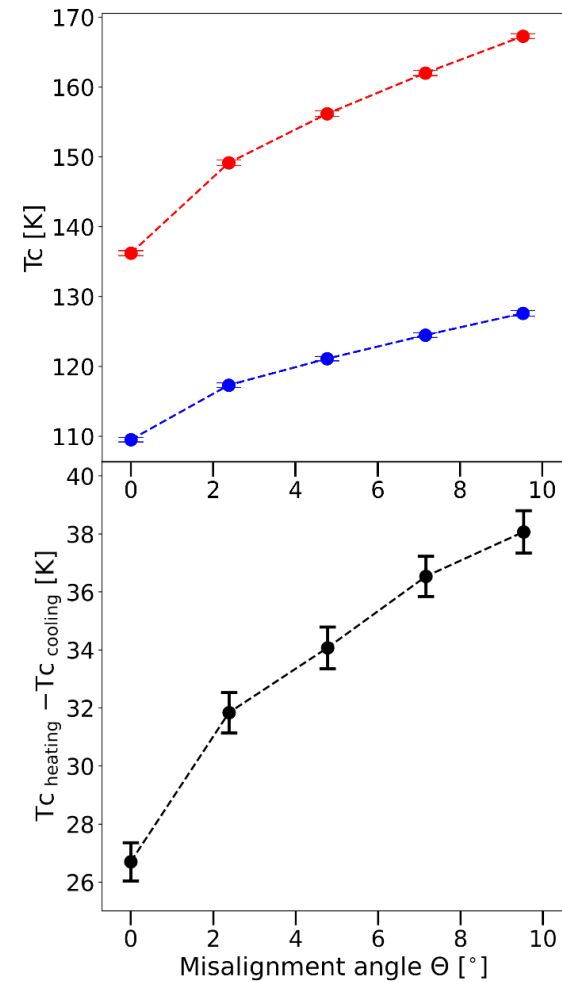
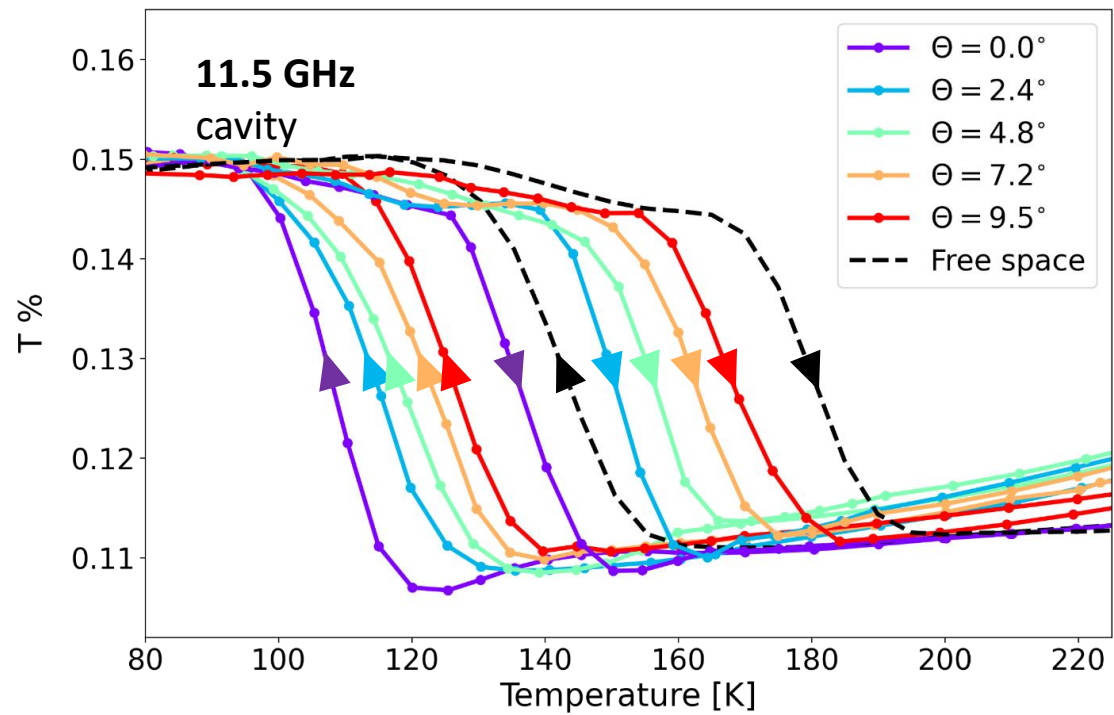
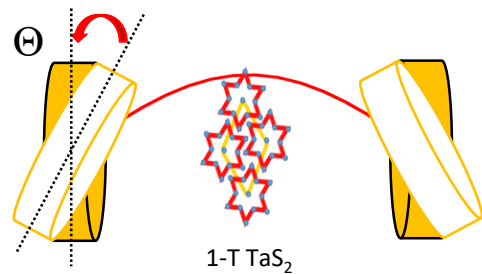
Dependence on the Cavity geometry



Dependence on the Cavity geometry

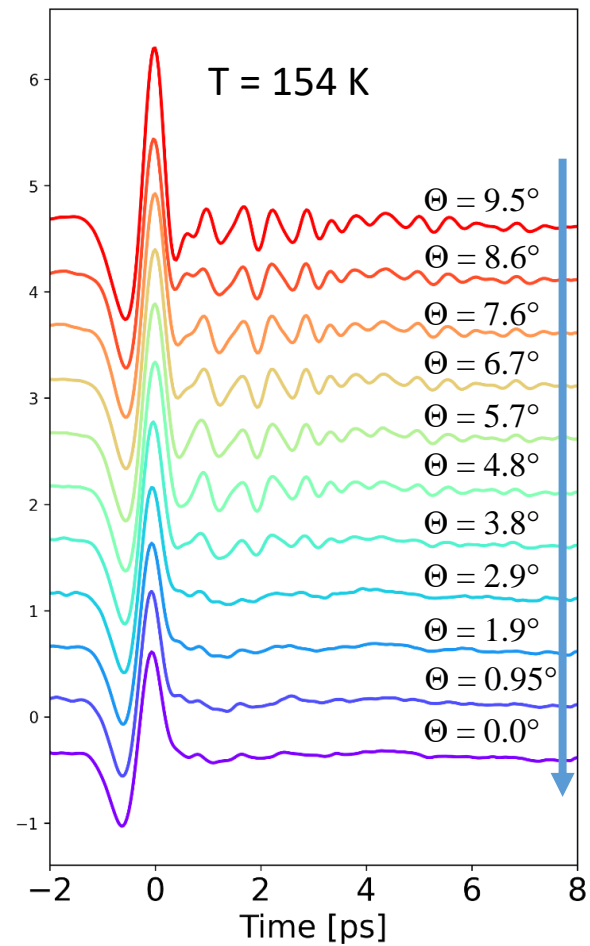
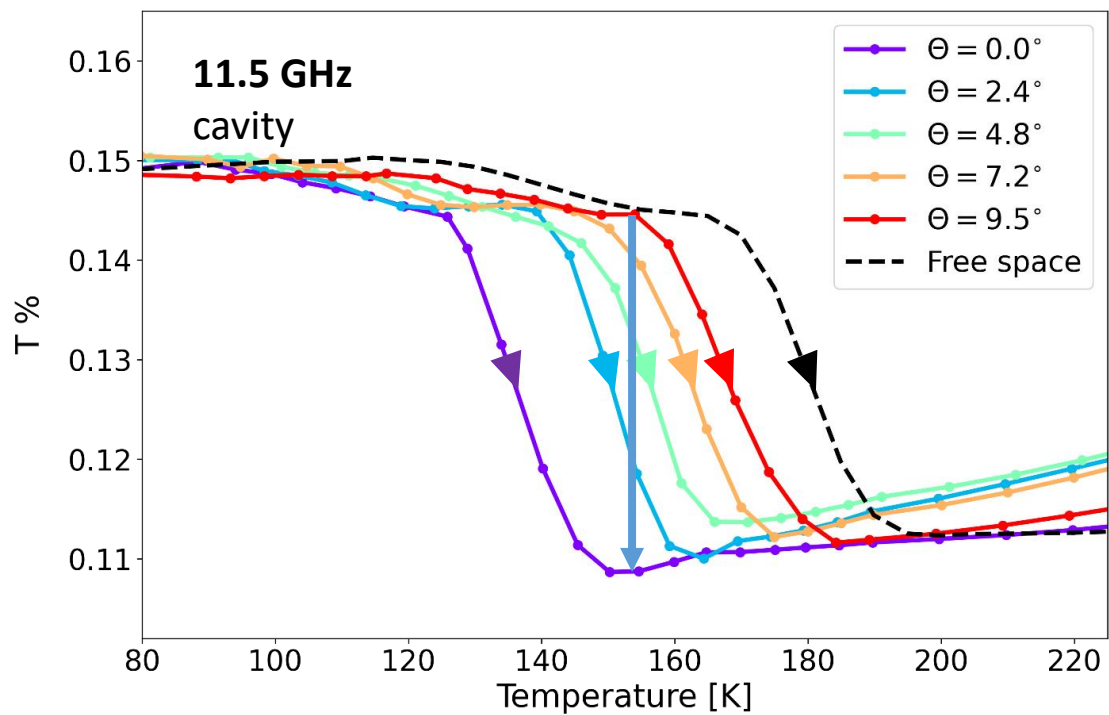
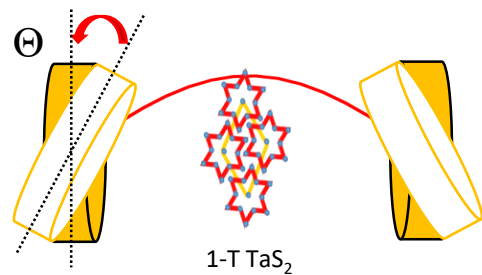


Dependence on the Cavity geometry



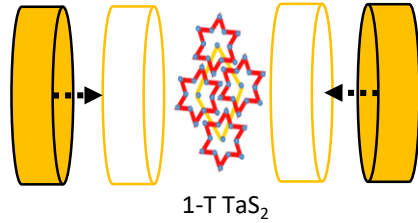
<https://arxiv.org/abs/2210.02346>

Dependence on the Cavity geometry

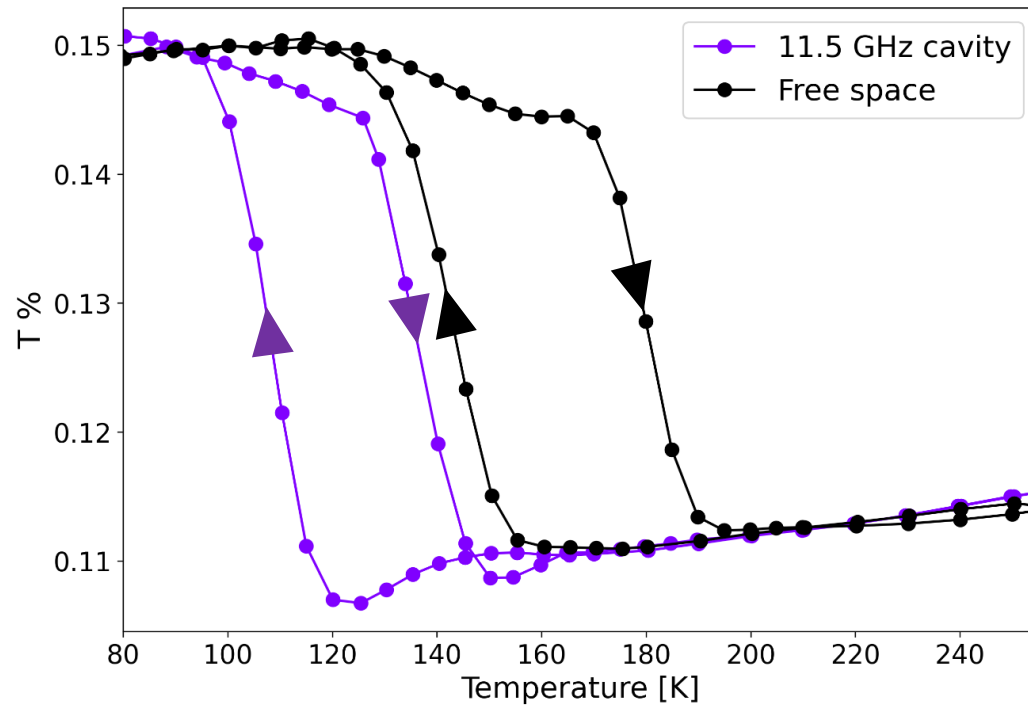


<https://arxiv.org/abs/2210.02346>

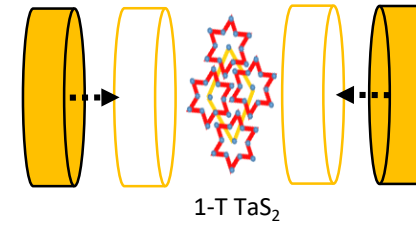
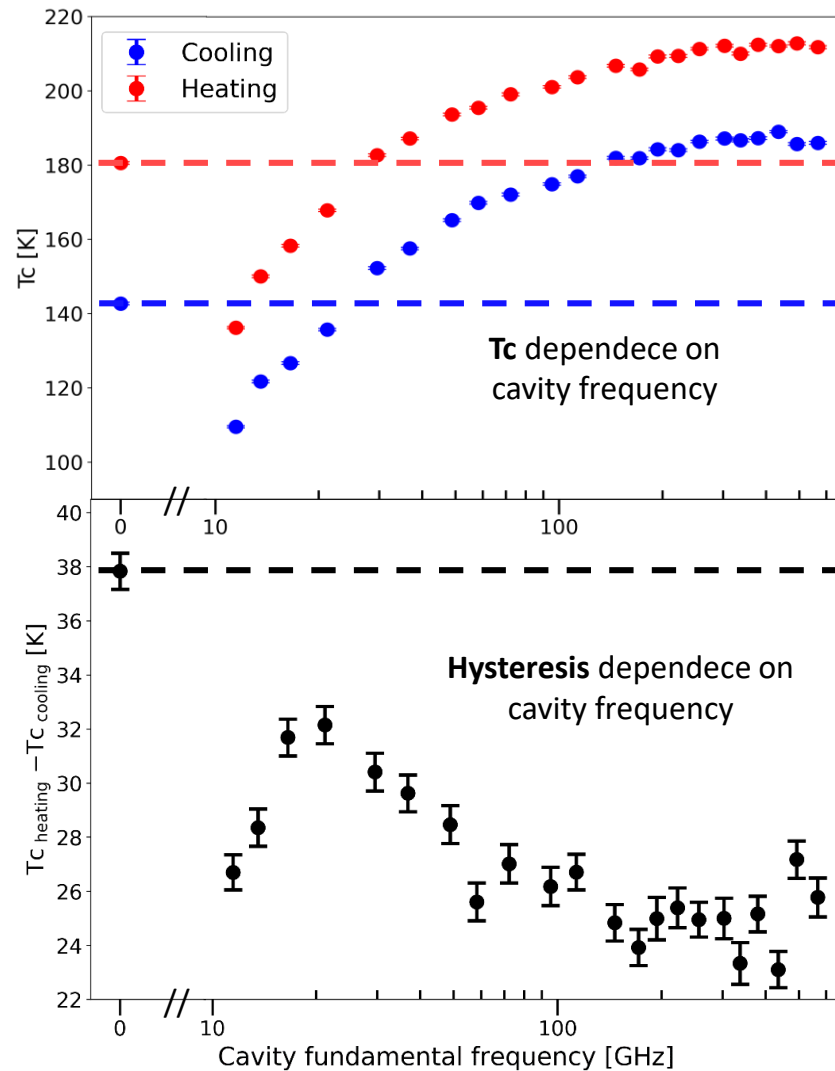
Dependence on the Cavity frequency



Cavity fundamental frequency tuning ?

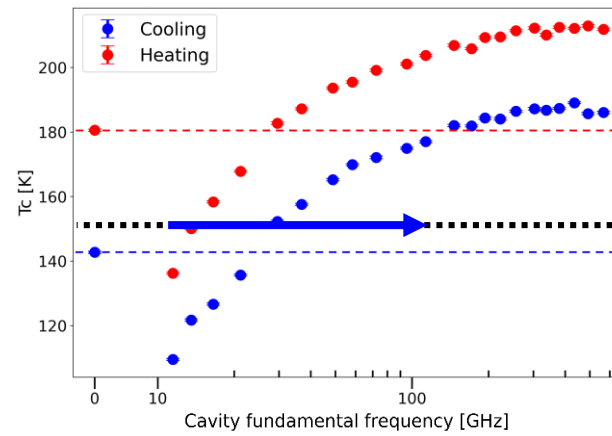
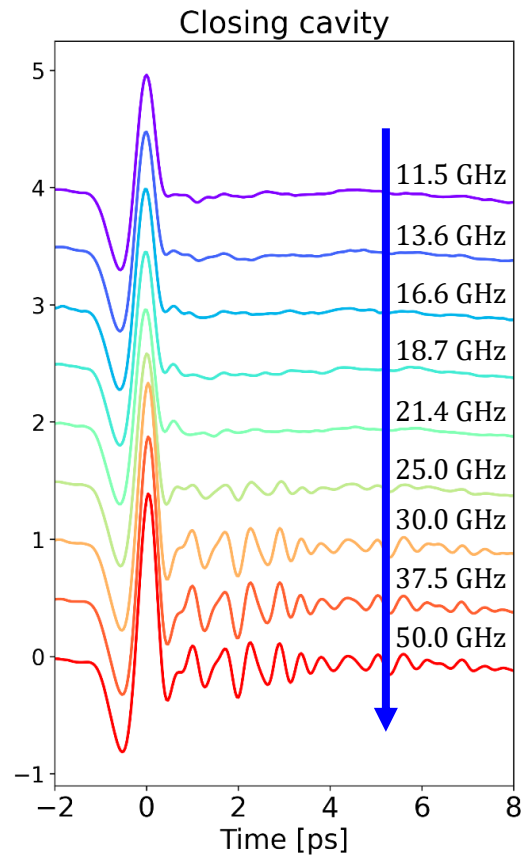
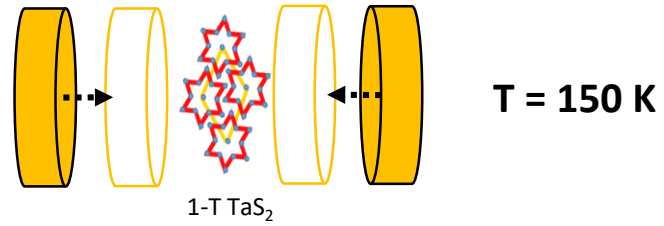


Dependence on the Cavity frequency

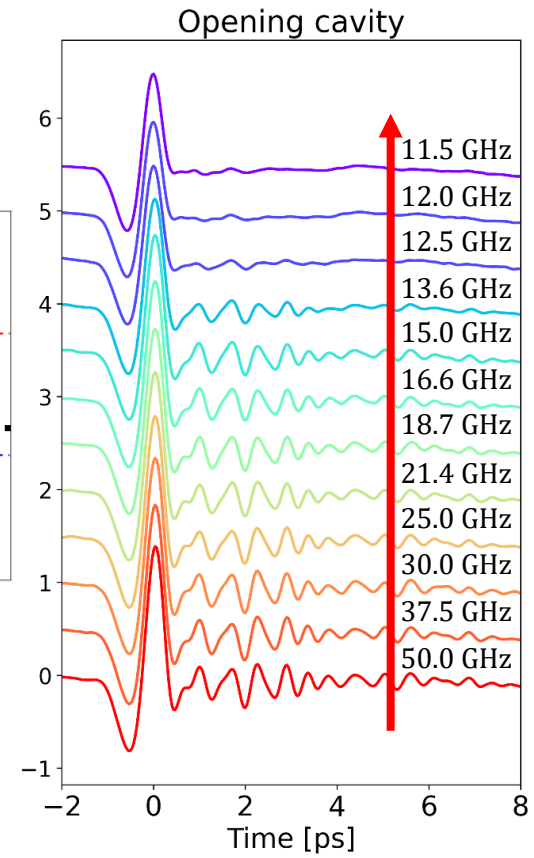
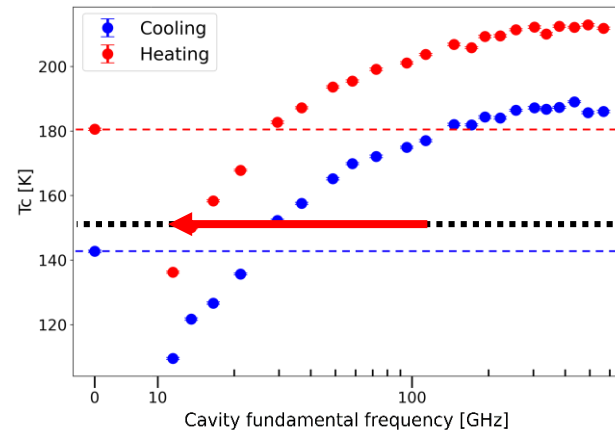
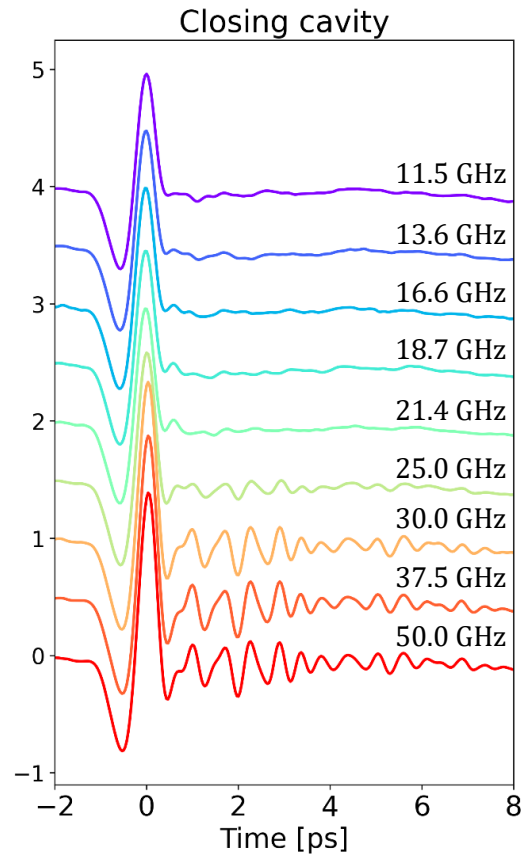
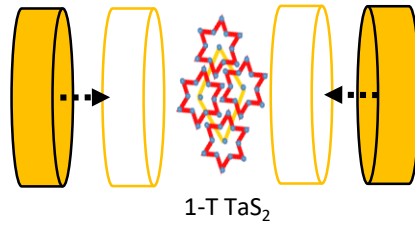


- ✓ **Metallic (NC-CDW)** phase stabilization upon cavity frequency reducing
- ✓ **Cavity-mediated** hysteresis change

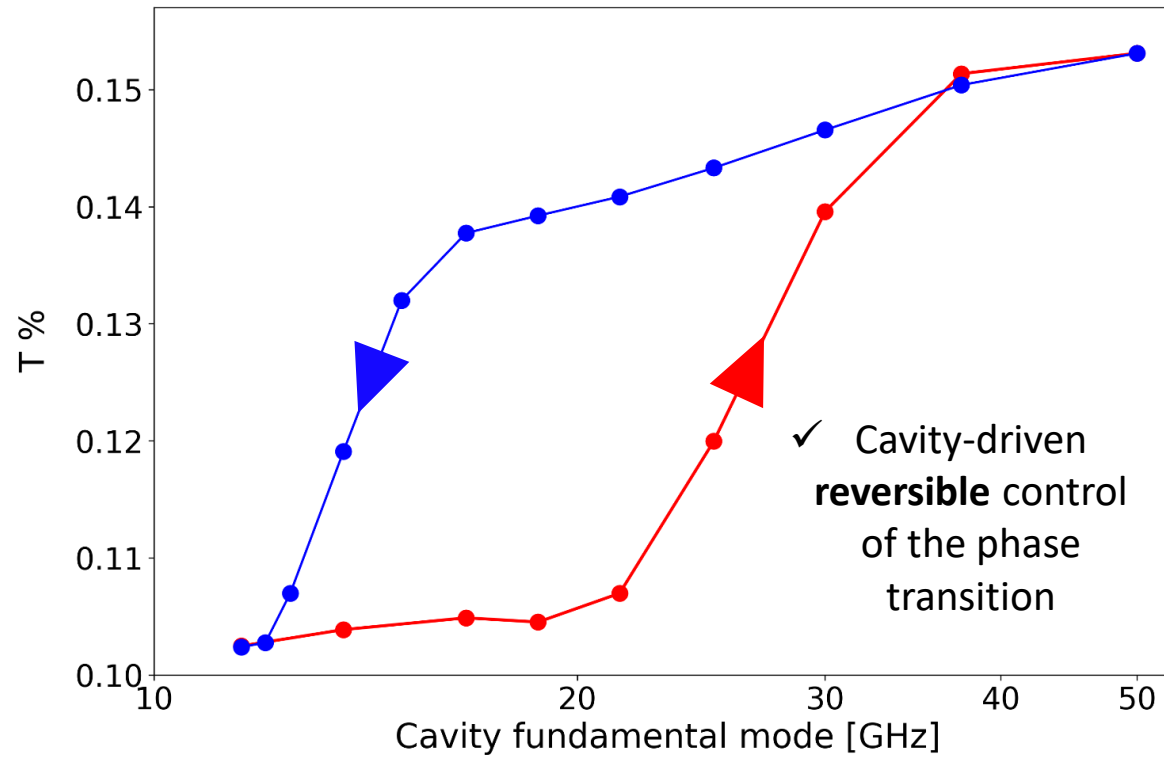
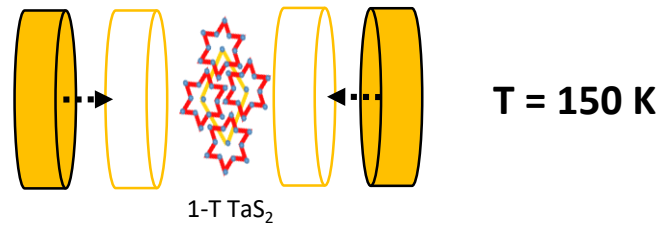
Reversible control of M-I transition



Reversible control of M-I transition

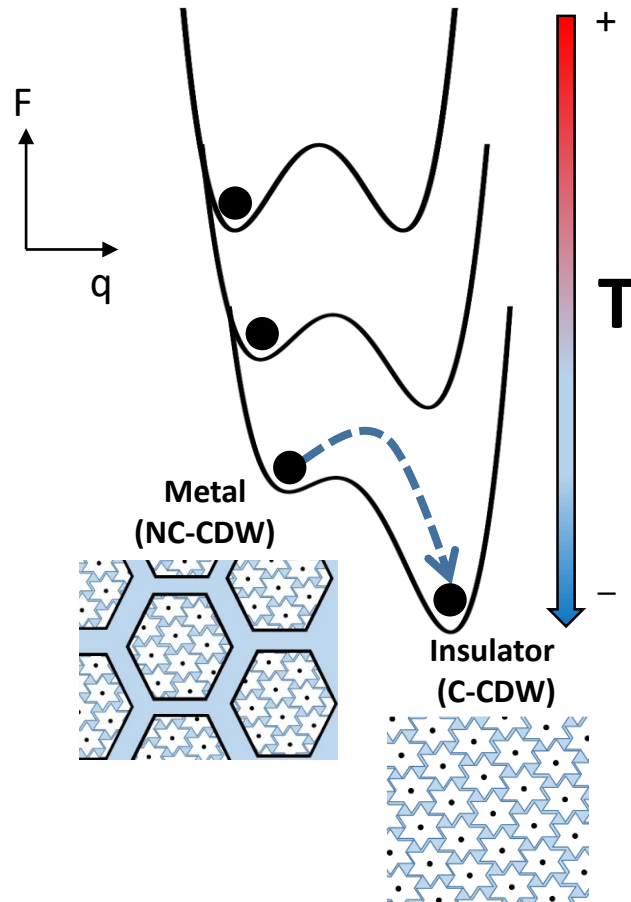


Reversible control of M-I transition



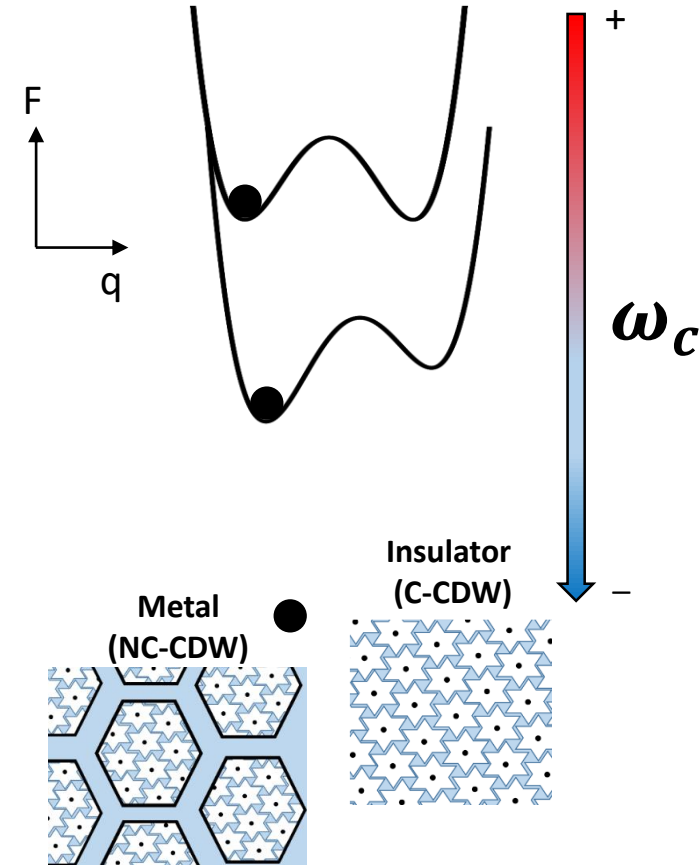
Possible mechanisms #1

Freezing of domain boundaries fluctuations
(dominant in the **GHz-THz** spectrum)



PRB 14, 1496 (1976), J.Phys_Soc_Jap 45,4 (1978)

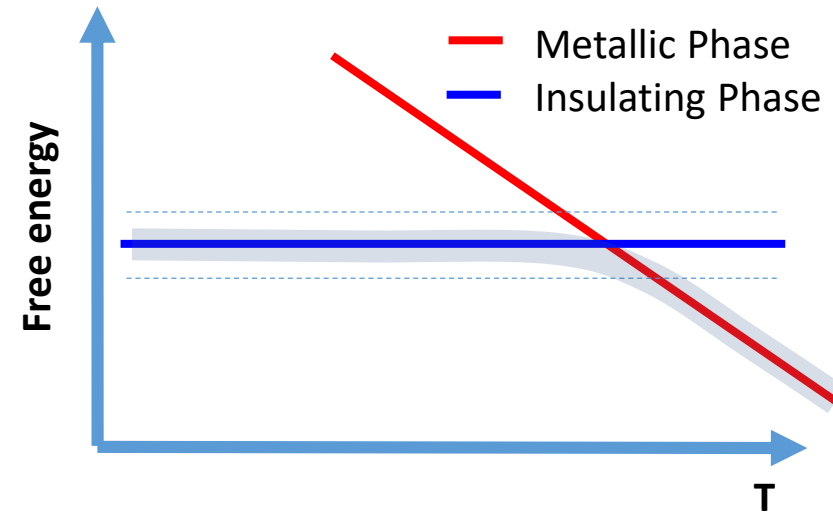
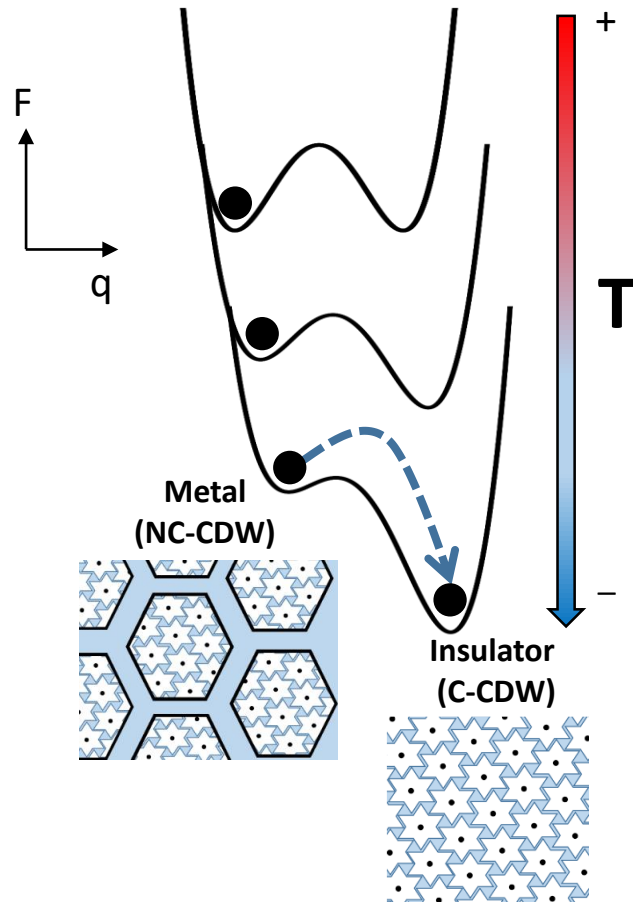
Charge domain boundary fluctuation in the
metallic phase couple to the cavity
→ Renormalization of the free energy of the
metallic phase



<https://arxiv.org/abs/2210.02346>

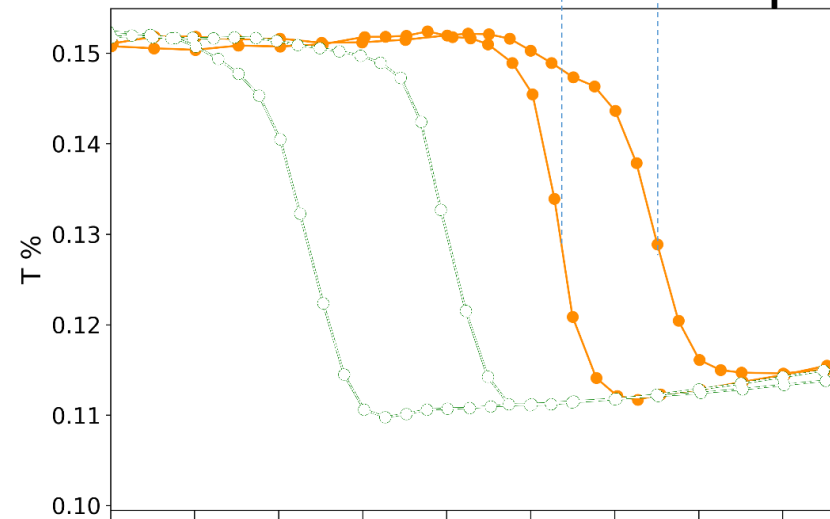
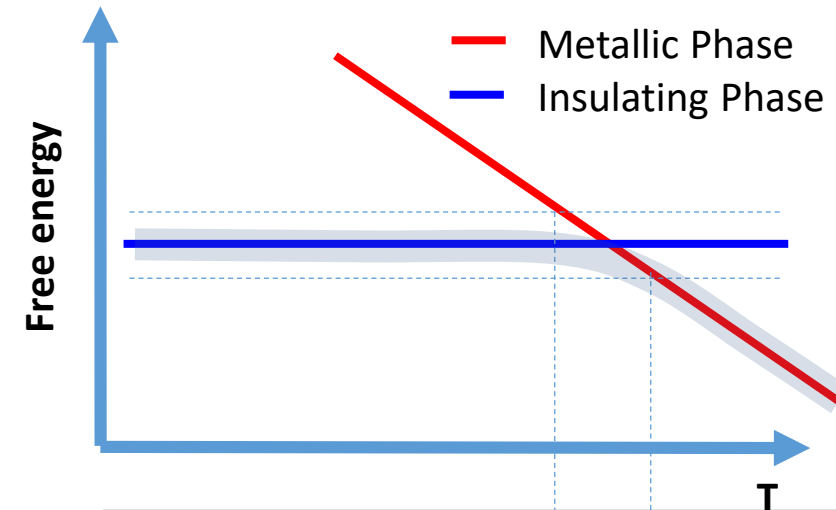
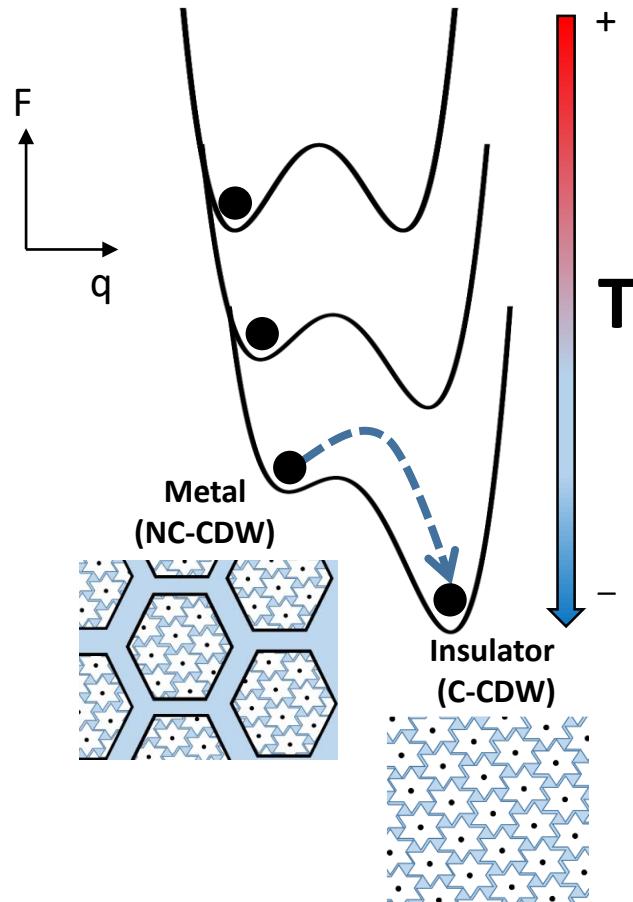
Possible mechanisms #1

Freezing of domain boundaries fluctuations
(dominant in the **GHz-THz** spectrum)



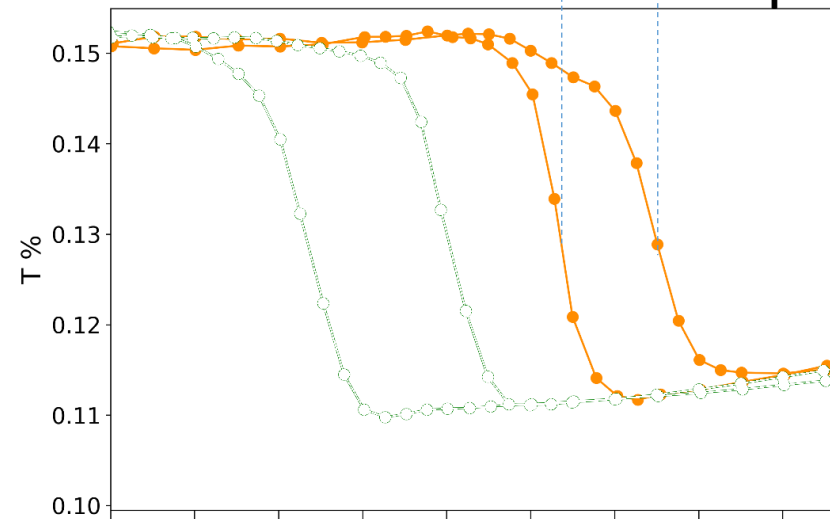
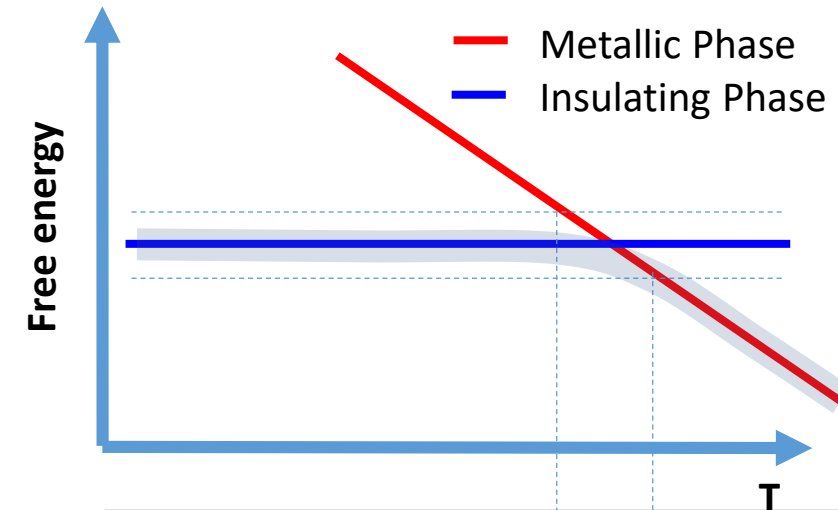
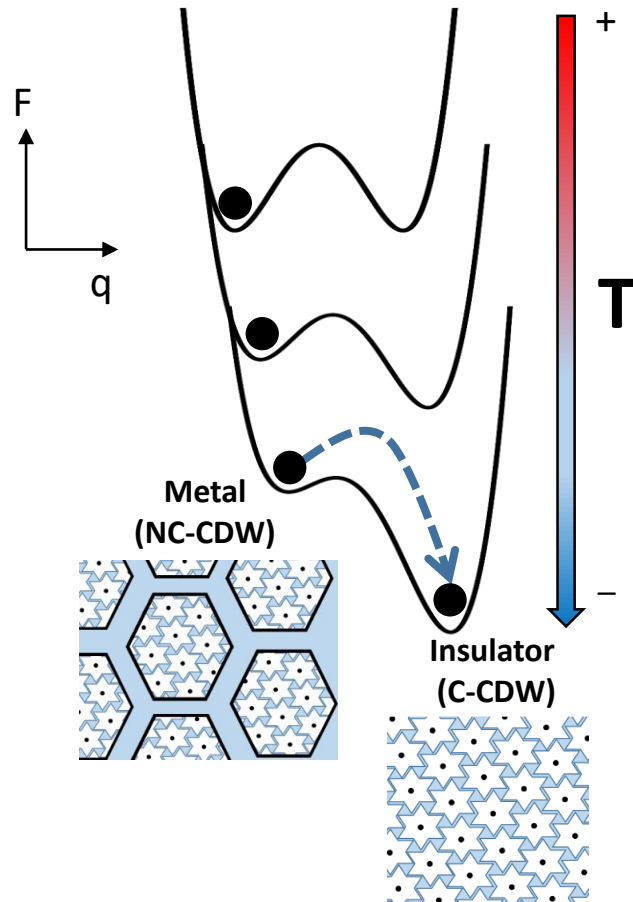
Possible mechanisms #1

Freezing of domain boundaries fluctuations
(dominant in the **GHz-THz** spectrum)



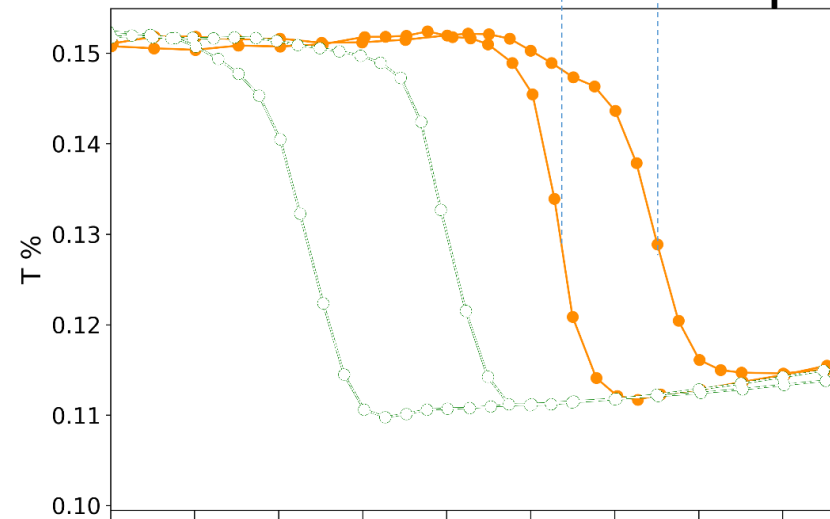
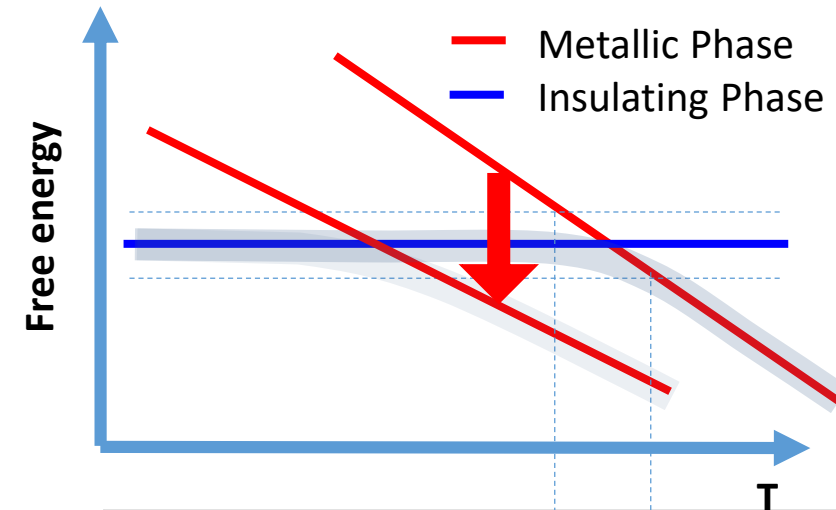
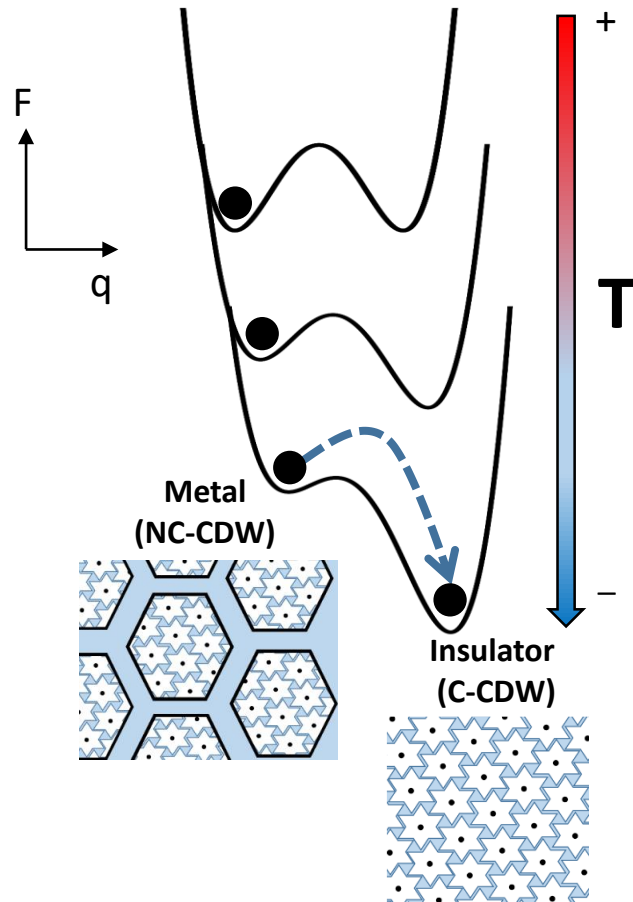
Possible mechanisms #1

Freezing of domain boundaries fluctuations
(dominant in the **GHz-THz** spectrum)



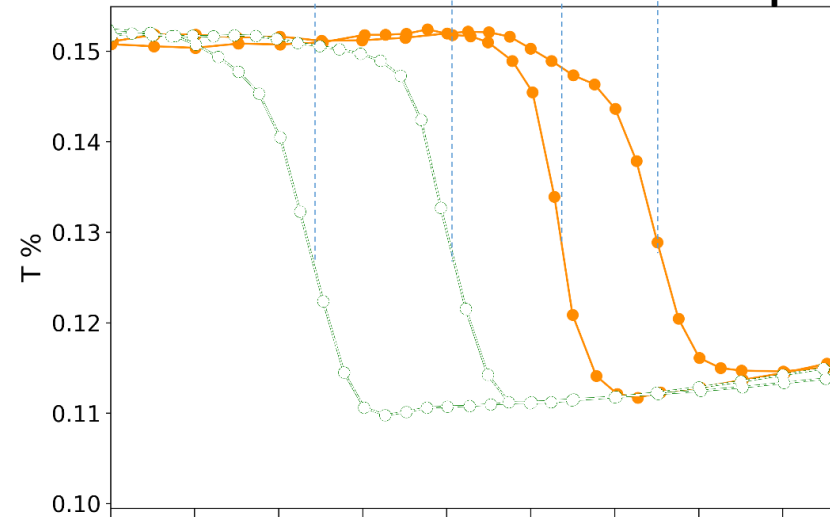
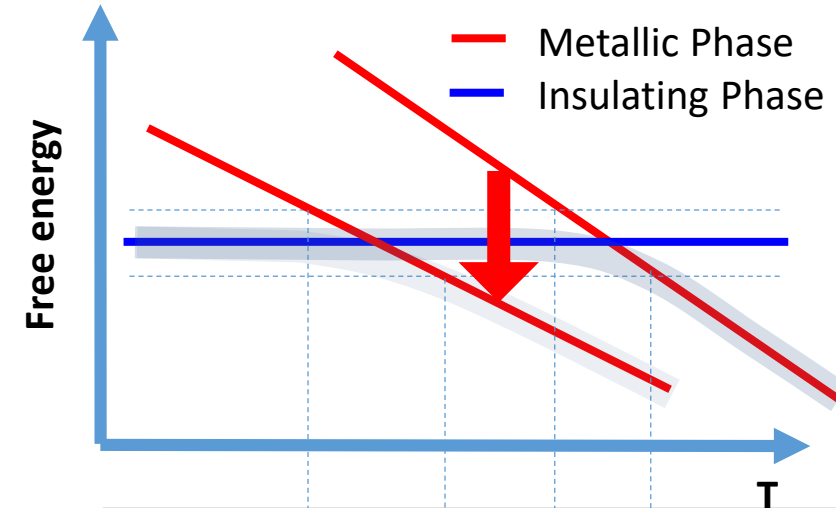
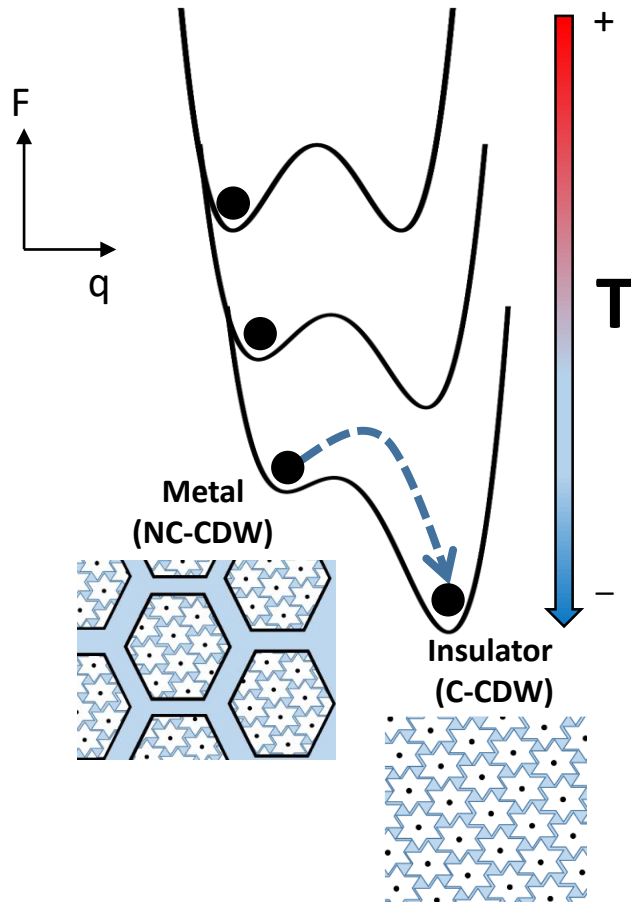
Possible mechanisms #1

Freezing of domain boundaries fluctuations
(dominant in the **GHz-THz** spectrum)



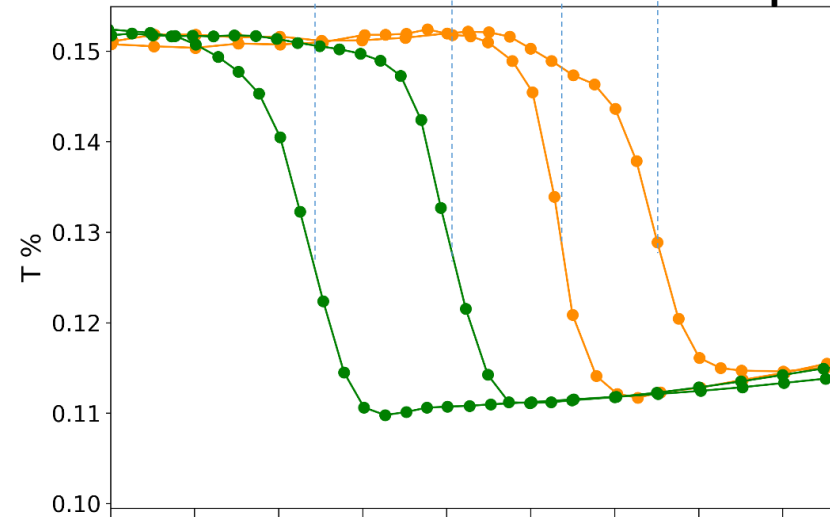
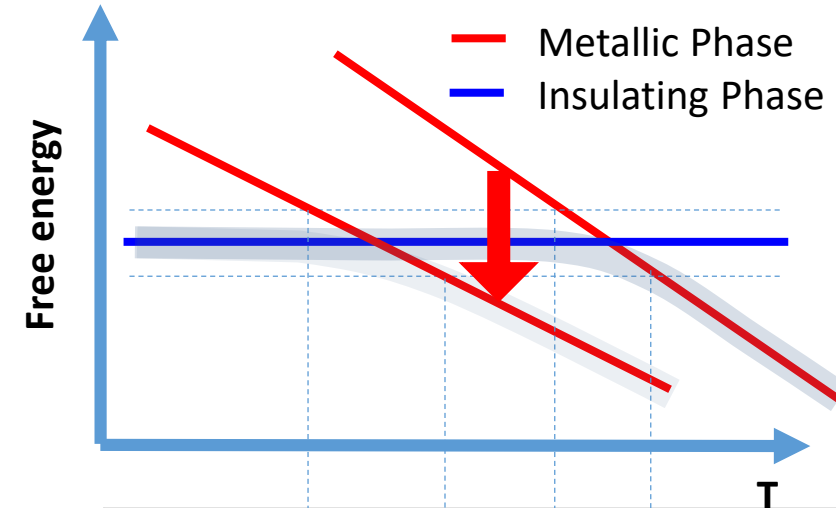
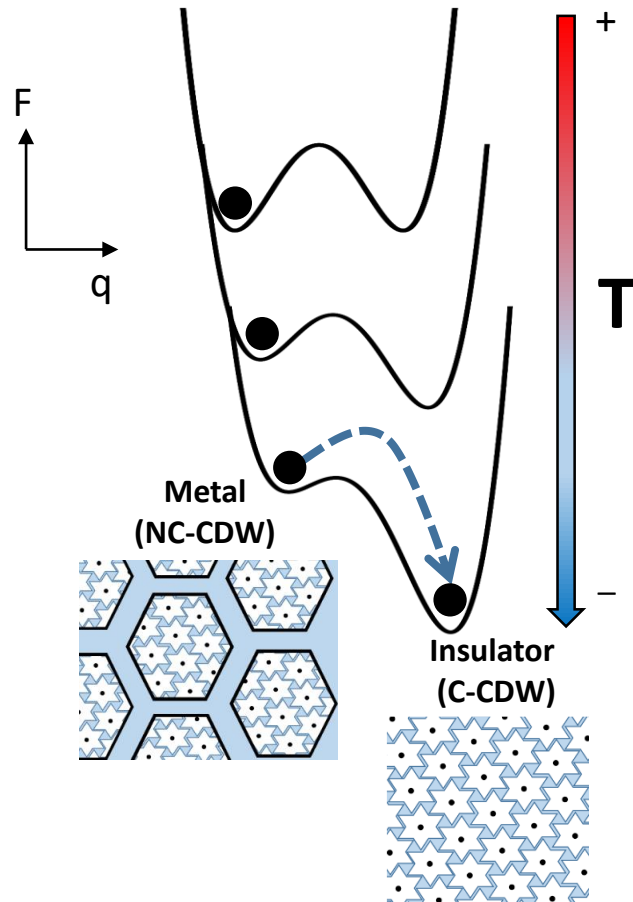
Possible mechanisms #1

Freezing of domain boundaries fluctuations
(dominant in the **GHz-THz** spectrum)



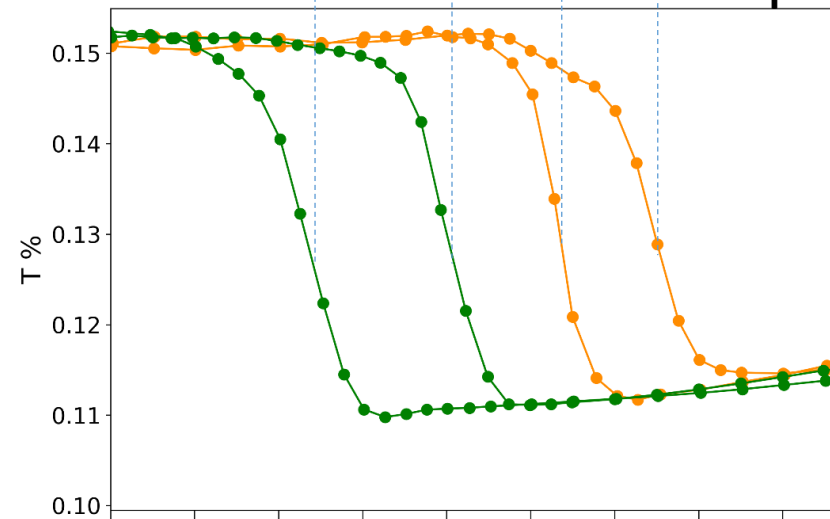
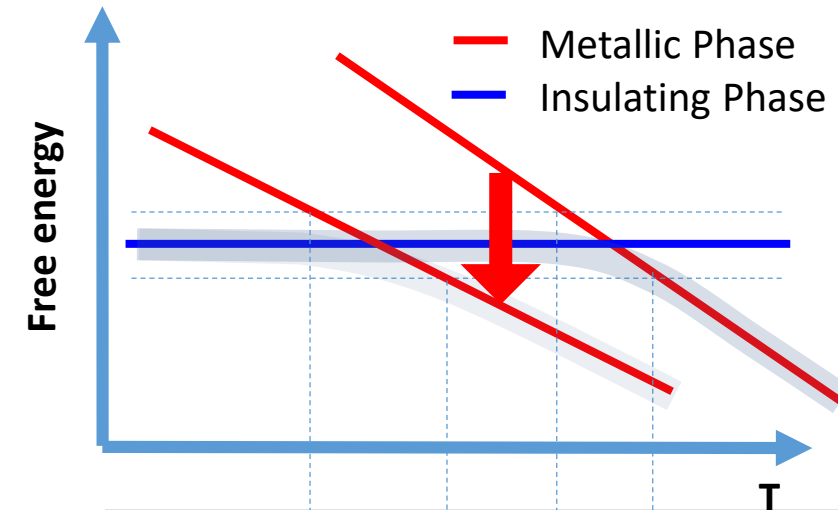
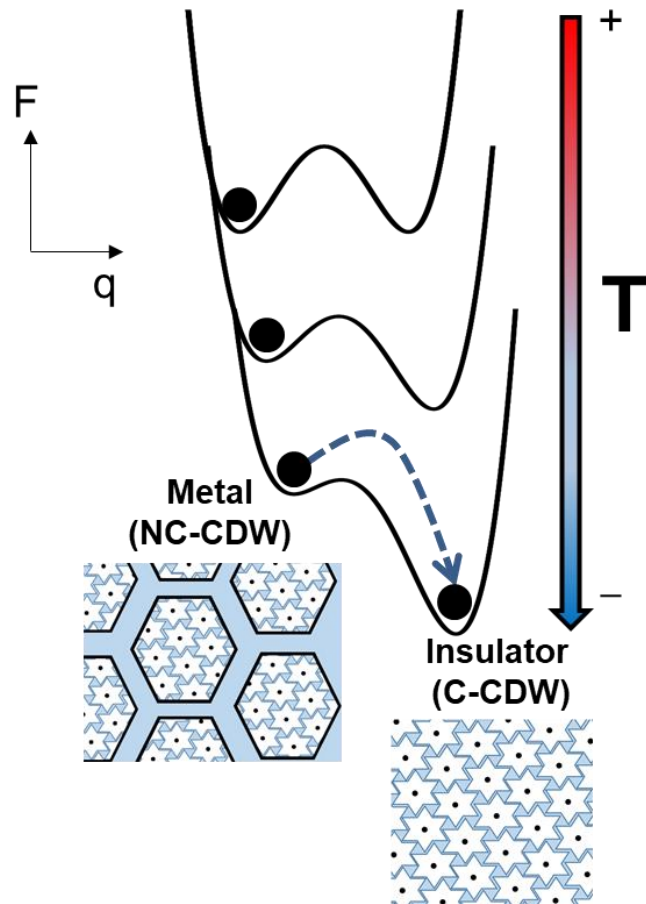
Possible mechanisms #1

Freezing of domain boundaries fluctuations
(dominant in the **GHz-THz** spectrum)



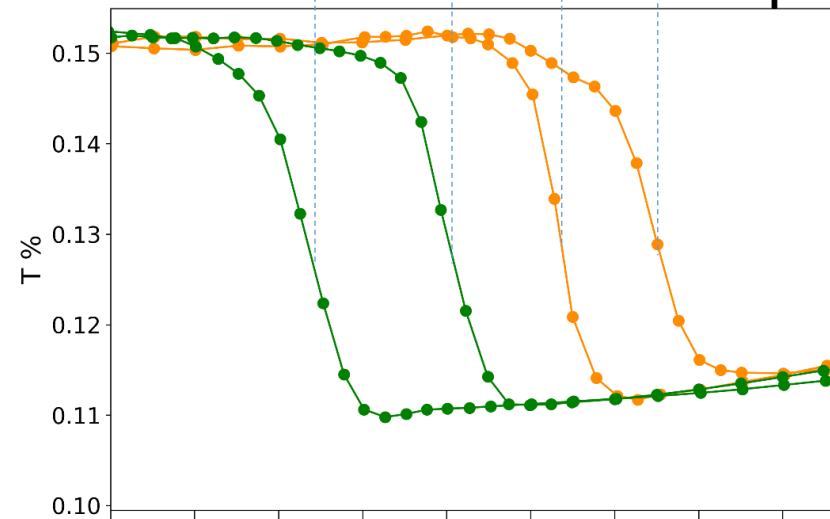
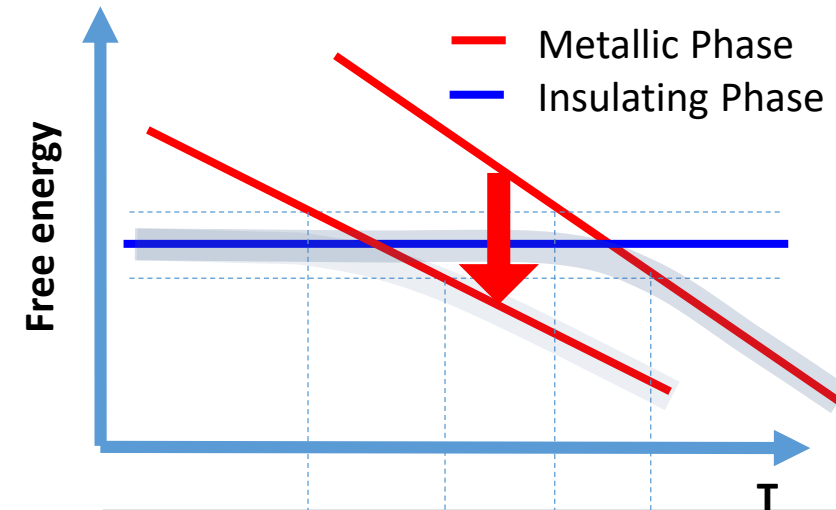
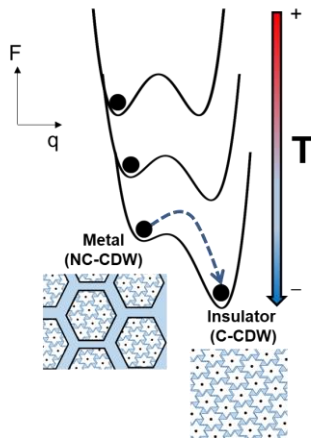
Possible mechanisms #1

Freezing of domain boundaries fluctuations
(dominant in the **GHz-THz** spectrum)



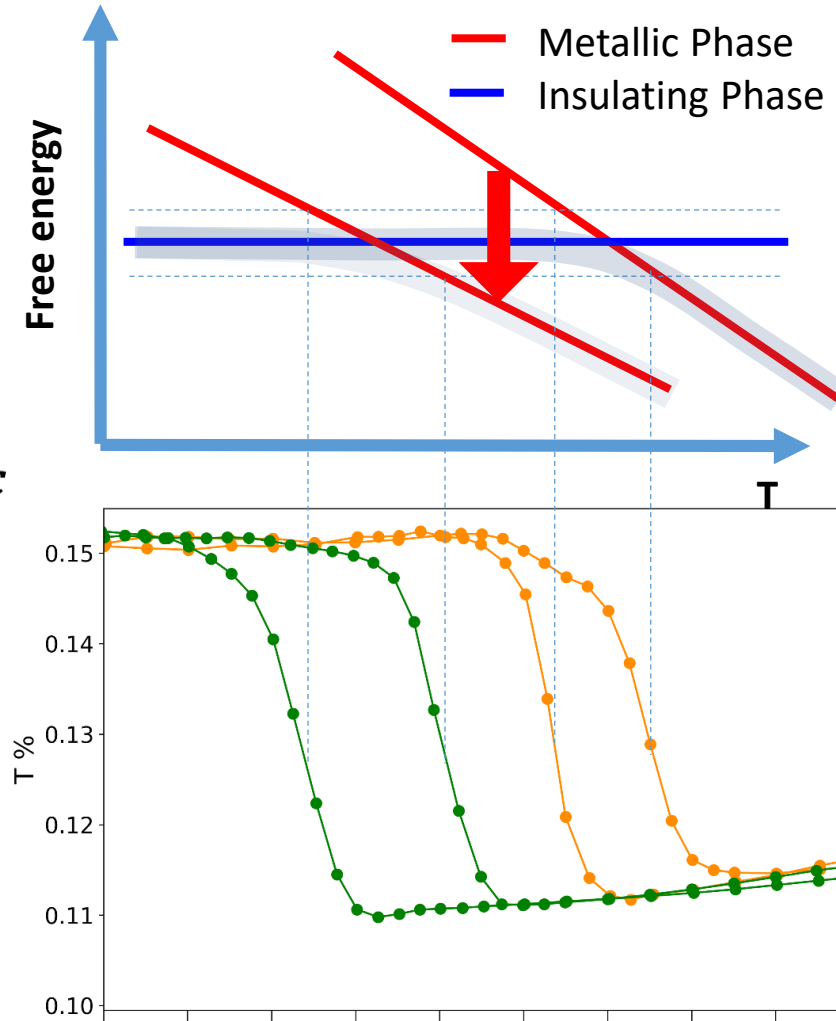
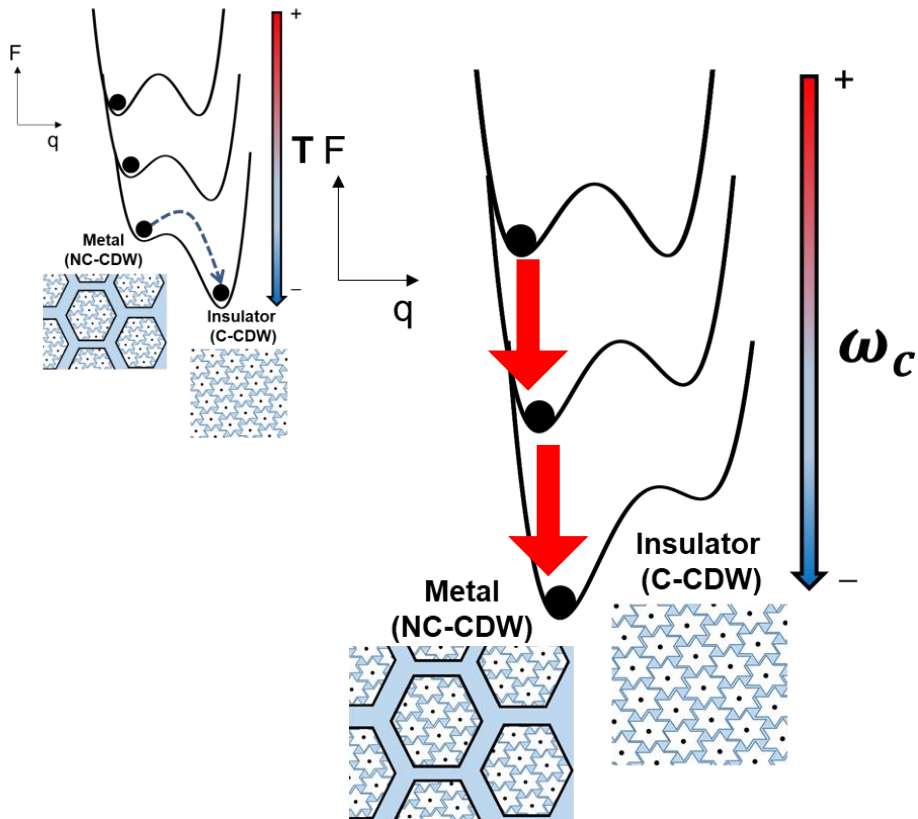
Possible mechanisms #1

Freezing of domain boundaries fluctuations
(dominant in the **GHz-THz** spectrum)



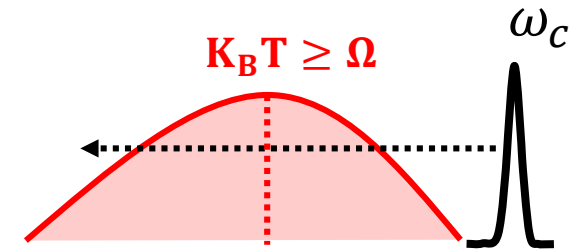
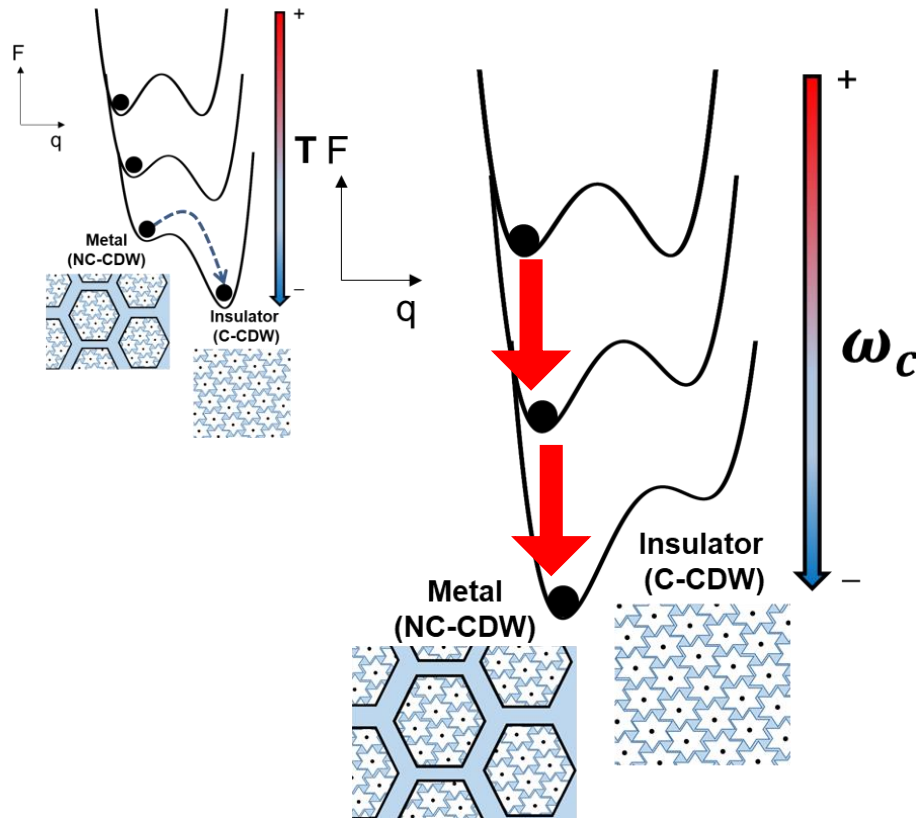
Possible mechanisms #1

Freezing of domain boundaries fluctuations
(dominant in the **GHz-THz** spectrum)



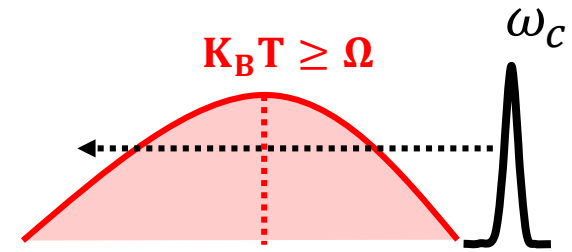
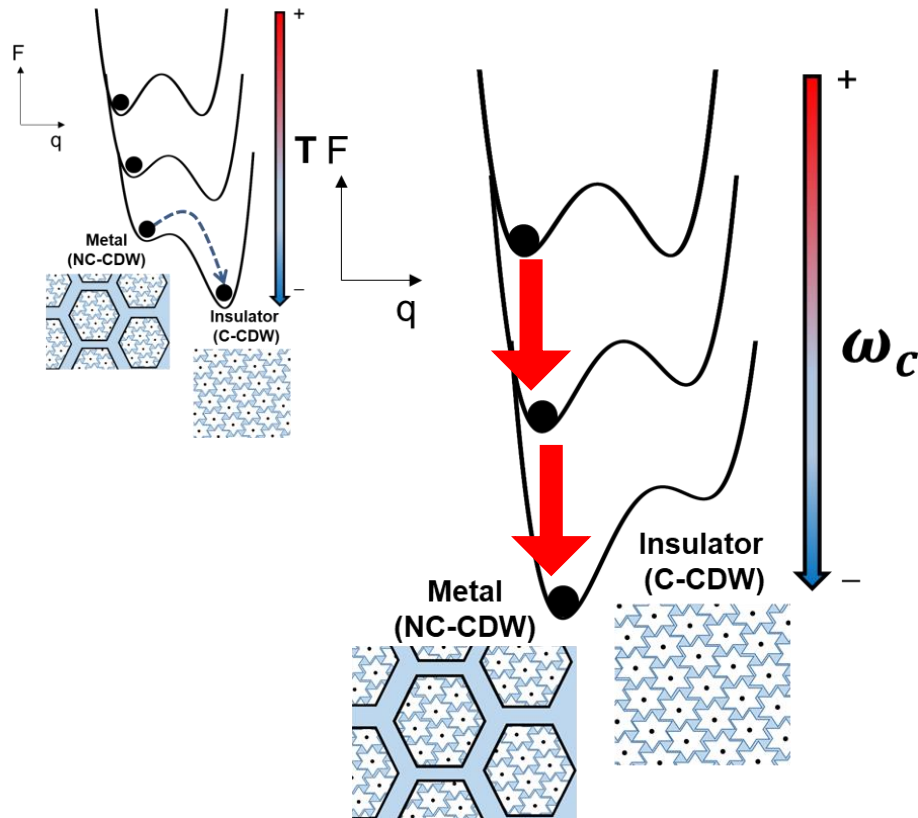
Possible mechanisms #1

Freezing of domain boundaries fluctuations
(dominant in the **GHz-THz** spectrum)



Possible mechanisms #1

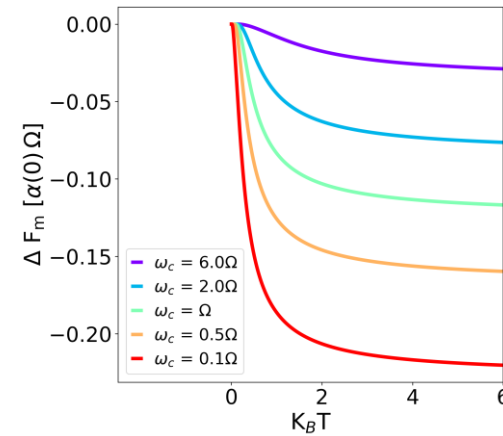
Freezing of domain boundaries fluctuations
(dominant in the **GHz-THz** spectrum)



Tunable cavity mode

$$+ \longrightarrow \Delta F_m(\omega_c, T)$$

Broad Mode
(domain wall fluctuations)



Possible mechanisms #2

- No cavity modification of the sample properties
- Modification of the temperature (or the population of electronic ex.)

